



FACULTAD DE INGENIERIA EN MECANICA

PRUEBAS EXPERIMENTALES DE GASIFICACION Y

OPERACION

CON GAS POBRE DE UN MOTOR ENCENDIDO POR CHISPA

TESIS DE GRADO
PREVIA A LA OBTENCION DEL TITULO DE:
INGENIERO MECANICO

PRESENTADO POR: Franklin Leoncio Rodríguez V.

> Guayaquil – Ecuador 1.990

AGRADECIMIENTO

Al Ing. JORGE DUQUE, por su acertada dirección y colaboración por la realización de este trabajo.

Al CONUEP por su valioso apor te econòmico para el avance de este proyecto.

A los profesores de la Facultad de Ingeniería Mecànica.



DEDICATORIA

A MIS PADRES

A MIS HERMANOS -

A MI NOVIA



Ing. Nelson Cevallos DECANO

Ing/ Jorge Duque

Ing. Francisco Andrade
MIEMBRO DEL TRIBUNAL

Dr. Alfredo Barriga MIEMBRO DEL TRIBUNAL



DECLARACION EXPRESA

"La responsabilidad por los hechos, ideas y doctrinas expuestos en esta tesis, me corresponden exclusivamente; y, el patrimonio intelectual de la misma, a la ESCUELA SUPERIOR POLITECNICA DEL LITORAL".

(Reglamento de Exámenes y Títulos profesionales de la ESPOL).

Franklin Rodriguez Vera



RESUMEN

En este trabajo se estudió la producción de jos primes partir de residuos agroforestatos y la operación de un motor de combustion interna de encendido por chispa operado con gas pobre como combustible. El trabajo realizado abarca básicamente dos etapas: una de recopilación bibliográfica y la otra de prueba experimental.

La fase experimental se llevó a cabo en diferentes etapas:

- a) Se efectuaron pruebas de gasificación con diferentes combustibles sólidos (madera, carbón vegetal, tusas de maíz) y una prueba preliminar con cáscara de coco y madera.
- b) Pruebas de operación de un motor monocilindrico de 8 HP usando gasolina y gas pobre, realizar las comparaciones de las curvas características del motor.

c) Prueba de operación de una trilladora de arroz con un motor de 8 HP de potencia con flujo axial utilizando gas pobre como combustible.

Como parte complementaria se hace un análisis económico de un sistema de fuerza mótriz de (20Kw) para los años 1985, 1987 y 1988.

De los resultados obtenidos en estas pruebas experimentales, la aplicación de esta tecnología es posible en el área rural, impulsar bombas para agua, generar fuerza motriz, trilladoras, molinos etc. y a pequeños electrogeneradores. Con estas pruebas queda demostrada la operación del sistema, no en lo que respecta a la economía del mismo por el costo no competitivo con respecto a los combustibles líquidos.



INDICE GENERAL

RESUMEN	SPO.
INDICE GENERAL	1958
INDICE DE FIGURAS	7000 M
INDICE DE TABLOS	
INTRODUCCION SING AND	VOONE LEENALLO
CAPITULO 1	
GENERALIDADES	
1.1. Objetivos	3
1.2. Alcance del Proyecto	net.
1.3. Proceso de obtención de gas pobre	· 27
1.3.1. Producción de gas pobre a partir de	5
residuos agroforestales.	
CAPITULO 2	Ģ
USO DE GAS POBRE EN UN MOTOR ENCENDIDO POR CHISPA	
2.1. Combustión del gas pobre	1.7
2.2. Definición de parámetros para el motor con	1
gasolina y gas pobre	
2.3. Evaluación comparativa del gas pobre y GLP,	15
con gasolina aplicada a motores	
2.4. Efectos de la corrosión del gas pobre en	17
motores de combustión interna	
CAPITULO 3	27
MEZCLADORES DE GAS FOBRE	and may

•	
3.1. Tipos de mezcladores	
3.2. Funcionamiento de mezcladores	23.
	" ▼.
CAPITULO 4	
DESCRIPCION DEL EQUIPO EXPERIMENTAL	
1.1. Banco de pruebas	77
4.2. Flanta de gasificación	~*,
4.3. Mezclador	7
CARTTURA	T. (7)
CAPITULO 5	
FRUEBAS EXPERIMENTALES	o →
5.1. Pruebas de gasificación	?IX
5.1.1 Funcionamiento del gasificador	ı) →
5.1.2 Gasificación con madera	47
5.1.3 Gasificación con carbón vagetal	# <u>/</u> ,
5.1.4 Gasificación con tusas de maiz	
5.2. Operación del motor a velocidad variable	10
y constante usando gasolina	
	40
5.3. Operación del motor a velocidad variable	
y constante usando gas pobre	53
5.4. Análisis de resultados	∴7
CONCLUSIONES Y RECOMENDACIONES	
APENDICES	71
BIBLIOGRAFIA	-
	130

Ŝ

INDICE DE FIGURAS

CAP:	ITULO 1	200
1.1	Signal de la secuena de reacciones co o	REGIECA CALSTOT CENTITOS.
	gasificador	
CAPI	ITULO 2	
2.1	Incremento de potencia en un motor, de encem	3 ^
	dido por chispa de baja velocidad	t m
2.2	Fotencia de salida en función de la yeloci	· ·
	ded del motor	ering trops
2.3	Curvas de consumo específico y potenito	ens l es
CAPI	TULO 3	
3.1	Mezclador operado manualmente	PPA PPA
3.2	Mezclador semi-automático	
3.3	Mezclador completamente automático	man ami L
CAPI	TULO 4	
4.1	Banco de pruebas	TO
4.2	Motor utilizado	فده مت
4.3	Planta de gasificación	9. * • • • •
4.1	Mezclador de gas	27
CAPI	TULO 5	
5.1	Filtro para limpiar gas	54
5.2	Curvas caracteríticas para gasolina y ga	*** ****
	pobre, velocidad variable	63
5.3	Curvas características para gasolino y ga	
	pobre, velocidad constante	4 5

APENDICES

APENDICE A	
incela de gasificación con madera	BIDLIOTY BO
VLENDICE B	4 - 3 - 143 - 6 ; , y.
Da cha de gasificación con carbón vegetal	94
AFENDICE C	
Dischas la gasificación con tusas de maiz	101
AFENDICE D	
estados para densidad y poder calorífico del	gas
obtanida	106
VUENDICE E	
T. Maios demostrativa de una trilladora de arro	z con
finie maial utilizando como combustible gas p	obre 111
APENDICE F	
Comba demostrativa de gasificación con mezclo	a al
DOM de madera y cáscara de coco	115
APENDICE 6	,
A	ión
JE DO KA	119

Anchisis económico de un sistema de fuerza motriz

Jo 2010 usando como combustible diesel y gas pobre

127

APENDICE H

APENDICE I

Residuos de alquitranes depositados en el cabezote del motor y nomenclatura

134

AFENDICE A Prueba de gasificación con madera 85 87 22

71

AFENDICE B

A1

A2

A3

A4

A5

A6

B1	Prueba	de	gasificación	con	Carbón	
B2	33	. "	n ·	11		97
B3	**		H	44		<u></u> ምረ
				••		78

APENDICE C

C1	Prueba	de	gasificación	con	tusas	de	maiz	101
APENI	DICE E							
E1	Encendi	da	-d7 .					

E1	Encendido del motor	
E2	Alimontania	113
	Alimentación de la trilladora	114

APENDICE F

I- I	Prueba de gasificación con 50% de madera	У	
	cáscara de coco	•	
			117

INDICE DE TABLAS

mul T	TOEG 1	
1.1	Zonas de temperaturas y reacciones en el	
	proceso de termogasificación	11
1.2	Composición del gas	10
CAPI	TULO 4	
5.1	Datos de pruebas del motor con gasolina	57
	Resultados de la prueba de motor con gaso-	J.)
	lina	
5.3	Datos de la prueba del motor con gas pobre	6 0
5.4		61
	Resultado de la prueba del motor con gas	
	pobre	62
	SIS DE RESULTADOS de resultados experimentales de las pruebas	
de ga	sificación	ن ات ک
	ICE A	
	Gasificación con madera	80
A2	н н н	82
2F	и и и	Dra
74	11 II II	84
45	to to es	OC.
\	D to the second	

A7	' Resultados de las pruebas de gasificación	
	con madera	72
AB	Resultados de las pruebas de gasificación	
	con madera	73
ΛÐ	ENDICE B	
B1	tederon con carpon	75
B2	и и н	77
B 3	H H H	52
B4	Resultados de las pruebas de gasificación	
	con carbón	100
ΔPs	ENDICE C	
C1	Gasificación con tusas de maíz	107
C2	11 11 11 13 15	103
C3	Resultados de las pruebas de gasificación	•
	con tusas de maiz	105
APE	NDICE F	
F1		
1 .	Prueba de gasificación con 50 % madera y	
	cáscara de coco	119
F2	Residuos de cáscara de coco del proceso de	
	gasificación	136
APE	NDICE H	
H1	Análisis de costo de producción de energía	
	Kw-hr de un sistema de fuerza motriz de 20	
	Kw-hr con diferentes combustibles	133
		·

,如果这种是一种,我们就是这种的,我们就是一个人的,我们就是一个人的,我们就是一个人的,我们也是一个人的,我们也是一个人的,也是一个人的,也是一个人的,也是一个人



INTRODUCCION

Las crisis energéticas han contribuido para que se de más énfasis en la búsqueda de fuentes de energía distintas de las convencionales. La termogasificación es una de las alternativas para producir energía a partir de la biomasa como: madera, carbón vegetal, residuos agrícolas. Este proceso consiste en convertir el combustible sólido de la biomasa en combustible gaseoso.

tecnología se desarrolló a mediados del siglo pasado Esta en la aplicación industrial con carbón mineral. Se calculaque a comienzo de siglo solo en los Estados existían alrededor de 10.000 gasificadores carbón El desarrollo de gasificadores llegó a tal punto mineral. que se estima existieron en operación unos tres cuartos de millón de gasificadores vehiculares, trabajando principalmente con madera troceada durante l a segunda mundial (Referencia 1).

Los motores a gasolina pueden ser adaptados con relativa facilidad para utilizar gas pobre depurado. Si bien el motor pierde una parte de su potencia al usar gas pobre, la combustión es más fácil que con combustibles líquidos que requieren de una atomización previa. Para el uso de gas pobre en motores de combustión interna se requiere de un mezclador gas/aire.

país solamente l a ESPOL está desarollando tecnología de gas pobre por esfuerzos propios o a través convenios nacionales e internacionales desde el Se ha construido una planta para la producción de gas pobre a ser utilizado en motores de combustión interna para electrogeneradores. En esta tesis **50** realizaron pruebas de producción de gas, en un gasificador de tiro descendente, utilizando varios residuos agroforestales (madera, carbón vegetal, tusas de maíz, cáscara de coco) y la operación de un motor de combustíon interna utilizando gas pobre.

CAPITULO No. 1

GENERAL I DADES

1.1 OBJETIVOS

El objetivo específico de este proyecto, es el de realizar pruebas experimentales de gasificación y operación de un motor de combustíon interna, para que sirva de base en la aplicación de gas pobre.

- El trabajo en esta Tesis involucra pruebas experimentales de dos tipos:
- 1) Gasificación con residuos agroforestales como materia prima y la comparación de los resultados obtenidos con experiencias realizadas en otros paises.
- 2) Estabilidad de operación del motor trabajando con gas pobre y comparación de las curvas características

del motor entre gas pobre y gasolina.

Este trabajo pretende ser una contribución de la capacidad y experiencia local en el proceso de gasificación para fines energéticos, puesto que aun no ha sido difundido en nuestro país.

1.2 ALCANCE DEL PROYECTO

Este proyecto forma parte de un programa global más la Facultad de Ingeniería Mecánica amplio abarca el uso de residuos agroforestales como fuente produción de fuerza motriz aplicado en rurales importantes de nuestro país, donde generalmendispone de l a materia prima (desperdicios agroforestales).

El desarrollo tecnológico de la utilización del gas pobre, es un campo que está siendo impulsado en la ESPOL y que tendrá efectos multiplicadores para el país. Si se lograra introducir de manera racional esta tecnología sería beneficioso para el desarrollo agrícola, y conllevaría a la construcción de nuevos equipos, nuevas fuentes de trabajo, independencia energética y ahorro de combustibles líquidos.

El aprovechamiento del gas esta orientado fundamental-

mente al sector de la pequeña industria y en pequeña escala, otras aplicaciones sería en plantas de fuerza motriz con ciclo de Otto, ciclo diesel ó utilización directa en hornos para secado de granos.

En las pruebas de la planta de gasificación como las del motor de combustión interna, los resultados obtenidos permiten la viabilidad de la aplicación en pequeña escala para generar fuerza motriz, impulsar bombas (irrigación, aspersión, etc.) o en pequeños electrogeneradores. Todo lo antes mencionado está relacionado con la parte operacional del sistema, mas no en lo económico ya que los costos relacionados con los combustibles líquidos son superiores.

1.3 PROCESO DE OBTENCION DE GAS POBRE

El proceso de obtención de gas pobre consiste en quemar parcialmente el combustible sólido dentro de un recipiente hermético por el cual fluye un caudal de aire atmosférico. El combustible fresco es añadido en trozos de tamaño (5 cm de lado) y se desplaza lentamente por gravedad a través de un lecho compacto.

El combustible pasa por varias etapas que lo desecan, eliminan su material volátil y lo someten a un proceso de reducción y oxidación en una zona incandescente. De todos estos procesos resultan gases combustibles: monóxido de carbono, hidrógeno y metano principalmente, vapores condensables y partículas.

<u>Descripción</u> <u>de los procesos</u>

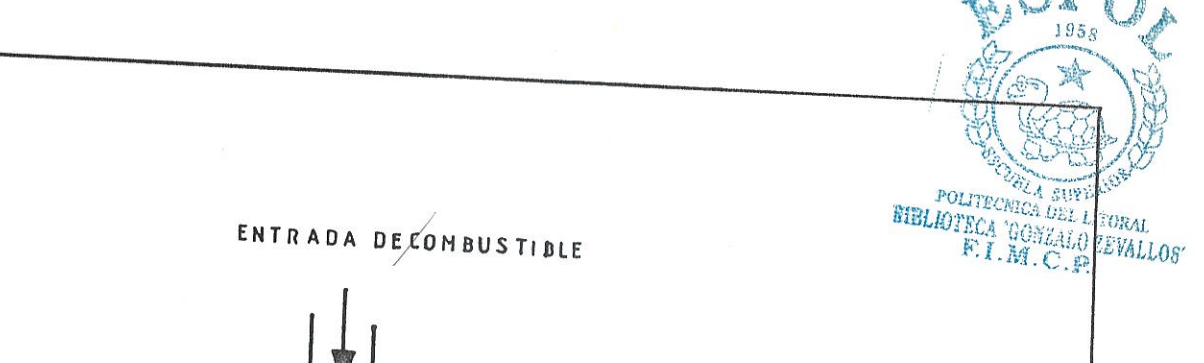
En la gasificación ocurren cuatro procesos distintos en zonas diferentes del reactor, dependiendo del tipo de gasificador. En este caso trataremos de un gasificador de tiro ascendente.

En la figura No. 1.1 se muestra claramente las diferentes zonas que se producen en el proceso de gasificación.

- 1. Secado del combustible.
- 2. Pirólisis.
- ∜ る。Reducción.
- ∜¥. Combustión.

Se puede decir que en realidad existen cruces de zonas en todas estas reacciones, es necesario indicar que para gasificar completamente el combustible sólido se producen reacciones químicas y térmicas diferentes.

Zona de Secado: Esta zona está generalmente en la parte superior del gasificador, sobre la zona de



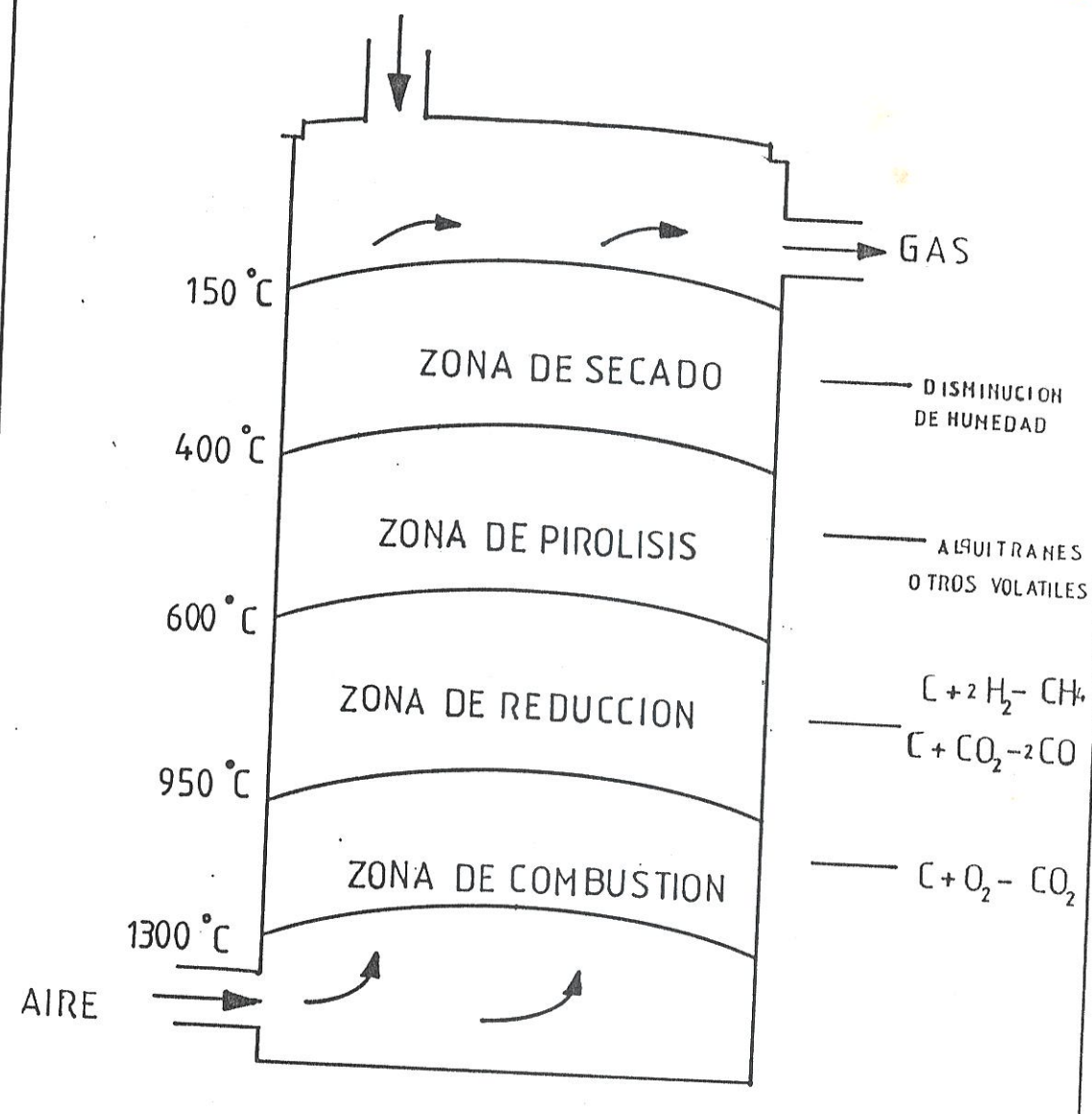


FIGURA 1.1 Esquema de las zonas de reacción en un gasificadorde tiro ascendente

pirólisis. Aquí la temperatura no es lo suficientemente alta para producir reacciones químicas; la humedad del combustible es absorbida.

Zona de Pirólisis: Esta zona está sobre la zona de reducción. Aquí se extrae el calor de las zonas calientes. Siendo la temperatura aproximadamente de 0 400 C una reacción exotérmica autosuficiente toma lugar, en la cual las estructuras del combustible biomásico utilizado comienzan a disociarse. El proceso es análogo al que ocurre en un horno de manufactura de carbón.

En las reacciones participan vapores condensables, acido acético, metanol y considerables volúmenes de hidrocarburos pesados (breas). En el caso de usar madera, es importante señalar que aproximadamente el 50% o más del peso original se emite como breas y volátiles.

Zona de Reducción: Zona donde el calor sensible de los gases y del carbón se convierten en su mayoría en energía química del gas pobre. No está permitido que ingrese aire en esta zona para que no halla oxígeno se diferentes a las que ocurren en demás zonas.

Esta zona es determinante para alcanzar el objetivo básico de la gasificación: la producción combustible. El gas generado se denomina "GAS POBRE" DAG por su bajo contenido de poder calorífico. Para uso posterior el gas debe ser acondicionado, limpiado previamente despojado de У las particulas suspensión, en as1 Como los vapores condensables de (alquitranes y similares). Por otra parte si se desea quemar el gas en una aplicación térmica directa los requerimientos de acondicionamiento del gas no estrictos.

Zona de Combustión: La ubicación en esta zona depende del tipo de gasificador a usar. Si es de tipo ascendente, estará ubicada en la parte más baja del gasificador como en este caso, y si el flujo es descendente estará por encima de la zona de reducción, en todo caso es la zona donde se alimenta con aire al gasificador.

1.3.1 PRODUCCION DE GAS POBRE A PARTIR DE RESIDUOS AGROFORESTALES

ha demostrado que es factible la Se obtención de gas pobre a · partir de≥ residuos agroforestales como madera, ⊂arbón vegetal y tusas de maiz. En este trabajo se dan

inicios para la continuación en nuevos análisis específicos de cada tipo de combustible usado. En el caso de emplear carbón vegetal puro seco, del que han evaporado los elementos volátiles en e1 proceso de manufactura (carbonización), éste al no tener hidrógeno disponible, no existirá en el gas resultante: cuando se usa carbón vegetal el gas que obtiene es de menor poder calorífico en un 20% que el obtenido con madera.

En la tabla No. 1.1 se presentan las zonas, de temperaturas y reacciones más importantes que ocurren en un proceso global de la termogasificación, indicando si óstas son de carácter exotérmico (+) o endotérmico (-).

progreso de estas reacciones depende principalmente del tipo de combustible usado, del diseño del gasificador y de las condiciones de operación. E1 gas pobre tiene valor calorifico relativamente bajo de Mj/Nm³, del 10 al inferior al gas natural 15% En la tabla No. 1.2 se muestran valores composición de gases producidos ΘD gasificadores de tiro descendente que Operan con madera y carbón vegetal (Referencia 5).

	TABLA :	¥ 1.1		
ZONAS DE TEMPERATURAS Y REACCIONES EN EL PROCESO DE 				
I I ZONAS I	TEMPERATURAS °C	REACCIONES		
		And the state of t		
Secado	20 - 100	kilof loka kan suprama kaprama sun sun kun		
Firolisis	120	Descomposición		
 Oxidación 	1.000-1.600	C + O === CO (+)		
: 		2H + 1/2O === H O O (+) 2 2		
Reducción 	600	C + H O === CO + H (-)		
: 		CO + H === CO + H (+)		
1 		C + 2H === CH (+) 2 4		
Reducción 	Ġ ○○	2 2 2 (+) CO + H === CO + H (+) 2 2 2 C + 2H === CH (+)		

FUENTE: Ref. 5

- (+) Reacciones Exotérmicas
- (-) Reacciones Endotermicas



		A # 1.2	HIRPOTERICA A TARGES	
	COMPOSICION)	DEL GAS POBRE	* ************************************	
GASES	MADERA	CA	RBON	VEGETAL
CO	17 - 22 %		23 -	33 %
H + 2	12 - 20 %		4). ···· ·	10 %
CH 4 .	2 - 3 %		Ö ··	77% #7 25- 79
C H	0,2 - 0,4 %		O -	O _g 1 %
C0 2	9 - 15 %		1	7 070
2	0 1 %		Ö	1 %
N 2	45 - 55 %		55	45 %
Foder calori-		·		
fico inferior				
3 MJ/Nm	5,0 - 5,9		4 _p 5 -	
Milital Infilitation state of the state of the state of the second of the second of the state of the second of the second of the state of the second of the sec		NAMES AND STREET OF STATE OF S		

FUENTE: Ref. 5



CAPITULO No. 2

USO DE GAS POBRE EN UN MOTOR DE ENCENDIDO POR CHISPA

2.1 COMBUSTION DEL GAS POBRE

La característica principal para la ignición del gas pobre es la temperatura y está determinada presencia de hidrógeno H y monóxido de carbono CO. razón de propagación de 11ama del qas está influenciada por el hidrógeno, siendo la velocidad de la llama de 265 cm/seg, o por el monóxido de carbono una velocidad baja de con llama de 40 cm/s@g (Referencia 15).

Es importante tener conocimiento de los elementos de esta mezcla de gases, sus características físicas, cuando se requiere para propósitos de calentamiento en el cual la combustión se produce.

Sin embargo la mayor parte de estos gases combustibles provienen del contenido de hidrógeno, monóxido de carbono y sus componentes de hidrocarburos que también hacen una contribución en una pequeña parte.

Para buena combustión no una suficiente **es** una correcta de aire con un chorro qas combustible para ser quemado. La mezcla intima de los dos fluidos es esencial para que la combustión del combustible sea completa. Una de las alternativas que puedan ayudar al mezclado es reducir la diferencia $d \alpha$ densidad entre las corrientes de aire y gas.

Debe tenerse 'siempre en cuenta que el término "gas pobre" no se refiera a una composición química específica, como en el caso de gasolina. El comportamiento del gas pobre bajo las condiciones vigentes en la cámara de combustión de un motor a gasolina varía mucho debido a la amplia gama de posibles contenidos de hidrógeno en el gas. Los octanajes de varios gases que forman el gas pobre son.

<u>Gas</u>	<u>Octanaje</u>
CO	105
Hz	60-66
CHA	105

2.2 DEFINICION DE PARAMETROS DEL MOTOR PARA GASOLINA Y GAS POBRE.

Para una mejor comprensión de las fórmulas utilizadas en los cálculos se hace una breve descripción de cada una de ellas, en el capítulo No. 4, y su aplicación para el banco de pruebas empleado en este trabajo de tesis.

<u>Parámetros del motor utilizando gasolina</u>

Potencia — Es el trabajo realizado en la unidad de tiempo y se mide en kilowatio KŴ.

Consumo de Combustible - Indica la cantidad de combustible que el motor consume por unidad de tiempo.

Torque - Es la fuerza que actúa sobre el brazo de palanca y se mide en Newton metro.

$$T = L * F (Nm)$$

Consumo de Aire - Indica la cantidad de aire que el motor consume por unidad de tiempo y su ecuación de la siguiente.

Consumo Epecífico de Combustible - Indica la cantidad de combustible que el motor consume para la potencia que produce.

Eficiencia Térmica - Es la relación entre el trabajo realizado por los pistones y el calor suministrado por la mezcla aire combustible.

<u>Parámetros del motor utilizando gas pobre</u>

Para el cálculo del consumo de combustible en el motor utizando gas pobre se emplea la siguiente fórmula.

$$CC = Q * d$$

Q = caudal; d = densidad

Con esta ecuación se cacula la densidad del gas pobre, para la eficiencia térmica y el poder calorífico se toma de la (Referencia 6). El cálculo se lo realiza en el Apéndice D.

Para la determinación de los demás parámetros del motor son empleadas las mismas ecuaciones aplicadas para gasolina.

2.3 EVALUACION COMPARATIVA DEL GAS POBRE Y GLP CON GASOLINA APLICADA A MOTORES.

Uno de los aspectos más relevantes acerca de los motores de combustión interna de encendido por chispa es su habilidad de operar con muy pocas modificaciones. Sin enbargo es fundamental conocer las diferencias de operación cuando se usa gas pobre como combustible.

motores de combustión interna de En encendido mezcla de gas pobre/aire entregada a chispa, l a cámara de combustión es inferior en #SUL contenido energético con relación a la mezcla gasolina/aire para cuales e1motor fue diseffado. Además propiedades del gas pobre en relación los líquidos son distintas que es necesario combustibles una evaluación completa de los siguientes parámetros:

- a) Eficiencia real del motor
- b) Producción de la potencia del motor
- c) Desgaste del motor a largo plazo
- d) Gases de escape del motor

2.3.1 OPERACION DE MOTORES DE COMBUSTRION INTERNA CON GAS POBRE.

En el manejo de gas pobre, la eficiencia mecánica N_m sera menor debido al bajo poder calorífico de la mezcla/aire. Además el motor proporciona toda la succión necesaria para vencer la caída de presión en el gasificador, una pérdida considerable en la N_m se produce al utilizar tubos de diámetros muy pequeños (menores de 35 mm), conexiones largas, muchos codos, etc. (Referencia 6).

La potencia de un motor de encendido por chispa y operado con gas pobre, con diferente relación de compresión se puede ver en la figura No. 2.1 que tiene un comportamiento diferente de acuordo a la forma en que es suministrado el gas pobre a la cámara de combustión en el motor.

Además no es técnicamente factible, y anticco

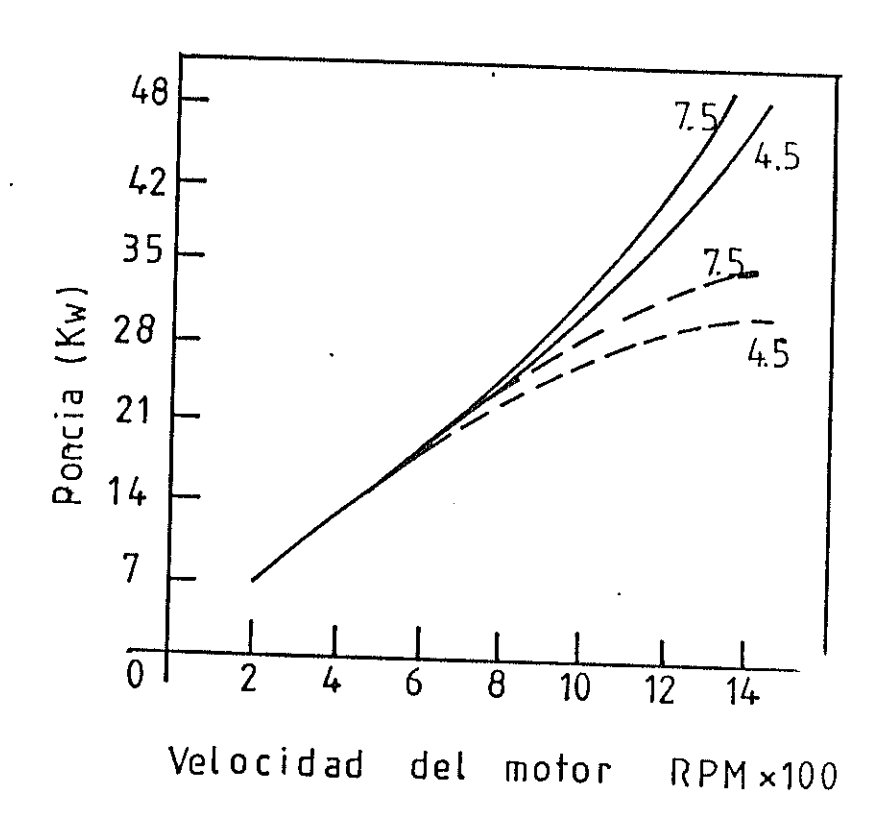


FIGURA 2.1 Incremento de potecia de un motor de encendido por chispa de baja vellocidad, razon de 1-4.5 y modificada a 1-7.5 ambos casos utilizando gas pobre.

Sin supercargador —————
Con supercargador ————

FUENTE Ref: 7

nómico aumentar la relación de compresión relación de 10, debido a problemas en el mucho miento. Los motores de alta compresión son mucho más difíciles de arrancar, siendo el arranque manual casi imposible. El esfuerzo y desgaste de los pistones, sistema de encendido es considerablemente mayor resultando un mal funcionamiento, una corta vida útil para los equipos.

Para tener um mejor entendimiento del comportamiento de un motor encendido de chispa, ha considerado resumir las divorcas eficiencias aplicadas a un motor. La eficiencia volumétrica N_v, este parametro es de interes para la medida del rendimiento de ensamblaje de válvulas, pistones, cilindros. Su valor máximo oscila entre 0,75-0,85 según el tipo de motor.

La eficiencia térmica indicada $N_{\rm e}$, constituye un indicador de la economía del ciclo real del motor de combustión interna, su valor para motores de encendido por chispa oscila entre 0,20-0,45.

Finalmente la eficiencia mecánica Mm, un parámetro que tiene en cuenta el trabajo absorbido por los rozamientos de los pistones,

rines, etc. y de los dispositivos auxiliares propios del motor, así como el trabajo absorbido por el bombeo (aspiración y escape). El rendimiento mecánico es normalmente cotre 0,80-0,70.

EL producto de: **いつ**米以デ米以^の constituye la eficiencia real del motor combustión cl œ interna, y esta eficiencia combinada con la eficiencia de conversión de la biomaca a gas pobre "frio" Ne, listo para ingresar al motor nos da como resultado la eficiencia global N. de todo el sistema gasificador, enfriador, motor, siendo igual a:

No = No * No * No * No.

Para los motores de combustión interna hay una amplia discrepancia en la pérdida de potencia reportada, sobre la eficiencia de los motores operados con gas pobre, en su mayoría se doben a los diferentes métodos de reportar los datos, a la combustión del gas, la pérdida de la potencia, eficiencias, velocidad del motor. Con la velocidad un poco baja en los motores, el uso del gas pobre es más favorable.

En la figura No. 2.2 se puede vor que la potencia varía en un amplio rango, es decir que no es constante en ningún punto usando gas pobro como combustible, todo ésto se debe a la inestabilidad del gas en la producción.

2.3.2 OPERACION DE MOTORES DE COBUSTION INTERNA CON GLP

El gas licuado de petróleo esta compuesto generalmente de una mezcla de propano y butano, estos combustibles a presión atmosférica son normalmente gases, deben ser licuados a baja presión para ser llenados en recipientes apropiados (botella de gas).

Utizando gas licuado de petróleo en motores de combustión interna, se puede usar altas relaciones de compresión por tener un alto índice de octanaje, además el propano se quema limpiamente, por estas razones la vida del motor resulta prolongada y el mantenimiento más barato, las bujías y válvulas no se carbonizan mayormente, los depósitos de carbón son mínimos.

En un análisis de la potencia utilizando como combustible gas licuado de petróleo, se verifica



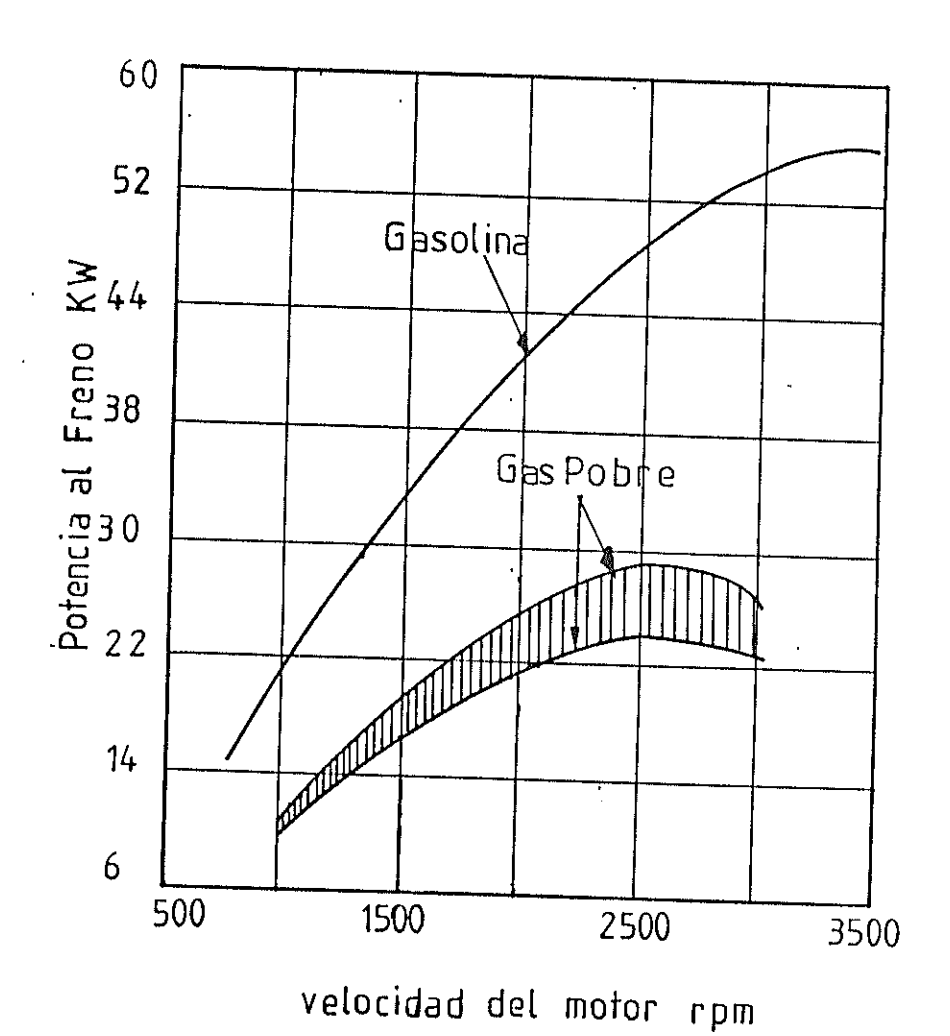


FIGURA 2.2 Potencia de salida en funcion de velocidad del motor

que la potencia tiene una disminución en perjuicio del gas, esta disminución no se debe a una menor éficiencia de combustión sino que la cantidad de combustible que entra al cilindro os menor ya que éste ocupa mayor volumen desplazando de esta forma la cantidad de aire necesario para la combustión.

Se puede ver que en la figura No. 2.3 la potencia y el consumo específico de combustible de acuerdo a estas pruebas son menores usando gas licuado de petróleo que gasolina.

2.4 EFECTOS DE LA CORROSION DEL GAS POBRE EN MOTORES DE COMBUSTION INTERNA.

La corrosión en los motores de combustión interna produce siempre en la culata, camisas de cilindros, en los cilindros y piezas mecánicas durante la parada del Debido a la condensación de motor. agua quo deposita en lugares de difícil acceso en su mayor parte. resulta casi imposible eliminar inconveniente. Además se produce la corrosión en las piezas del motor que estan sometidas a variaciones de temperaturas, incluso a causa de los cambios de tiempo en el encendido del motor que produce una mala combustión quedando residuos no combustionados dando

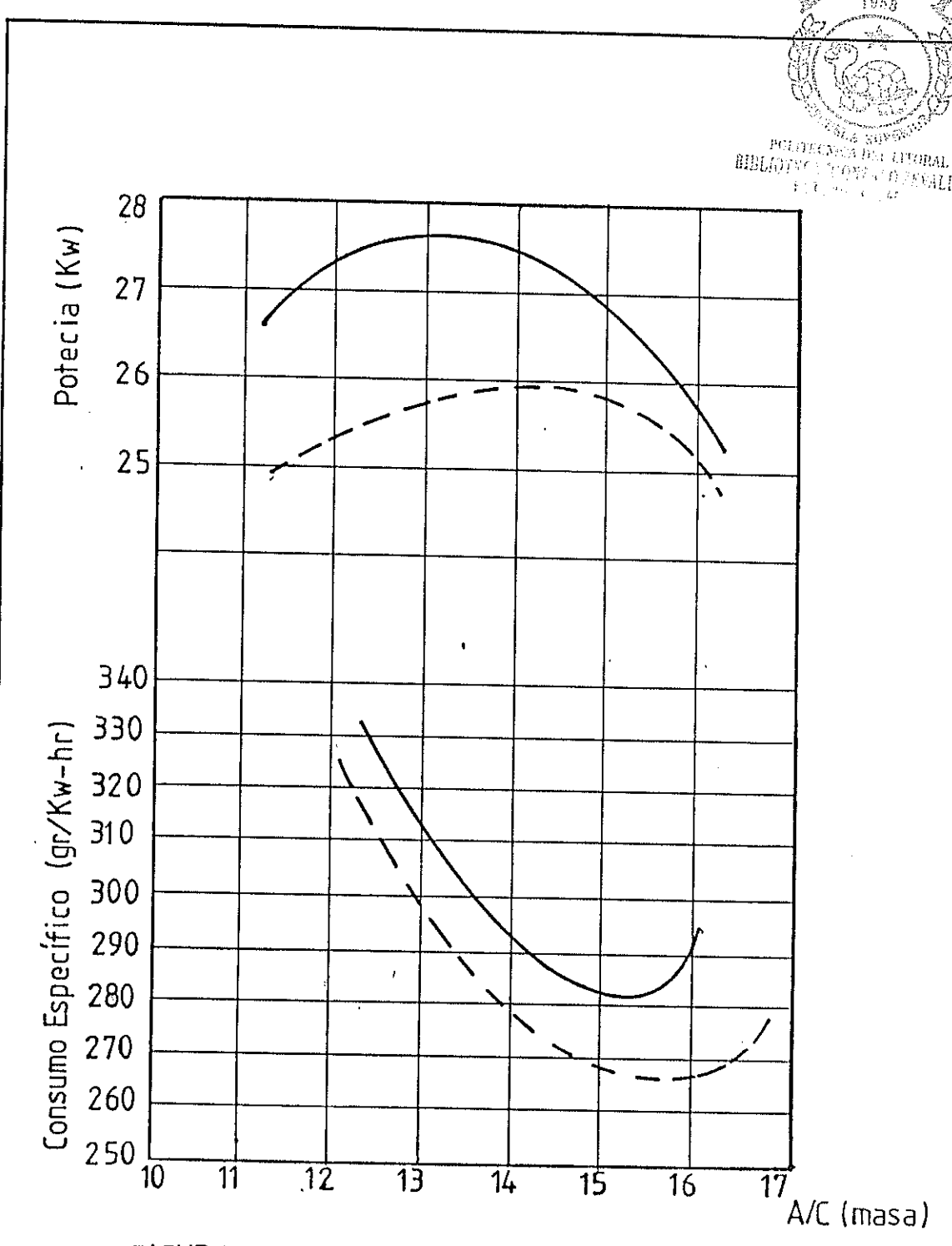


FIGURA 2.3 Curvas de Consumo Específico y Potencia vs Relacion Aire - Combustible.

Gasolina = ----GLP = ----

FUENTE Ref:3

origen a la corrosión.

La impureza principal en el gas pobre, que se presenta como sustancia corrosiva es el alquitrán que no se condensa en el sistema de depuración y que se deposita en las vávulas, ' pistones y cilindros del motor ocasionando daños. Además los ácidos orgánicos presentes en el gas pobre son la causa principal del desgaste ya que producen la corrosión en las piezas del motor.



CAPITULO No. 3

MEZCLADORES DE GAS POBRE

3.1 TIPOS DE MEZCLADORES

Para el funcionamiento de los motores de combustión interna el control y manejo de la mezcla gas pobre/aire es de mucha importancia, por esta razón se realiza un pequeño cambio en el carburador del motor de unidades que operan con gas pobre. Estos dispositivos se los denomina mezcladores y los más conocidos son los que a continuación se mencionan, mezcladores operados manualmente, semiautomáticos y automáticos.

El uso de mezcladores en motores de combustión interna es lo más acertado para encontrar una relación de gas/aire para el buen funcionamiento del motor ya que conseguir esto és dificultoso debido a que la composición del gas cambia durante su producción. Es decir que con un pequeño cambio en la apertura de la mariposa del mezclador en la toma de aire puede provocar cambios significativos en la potencia del motor.

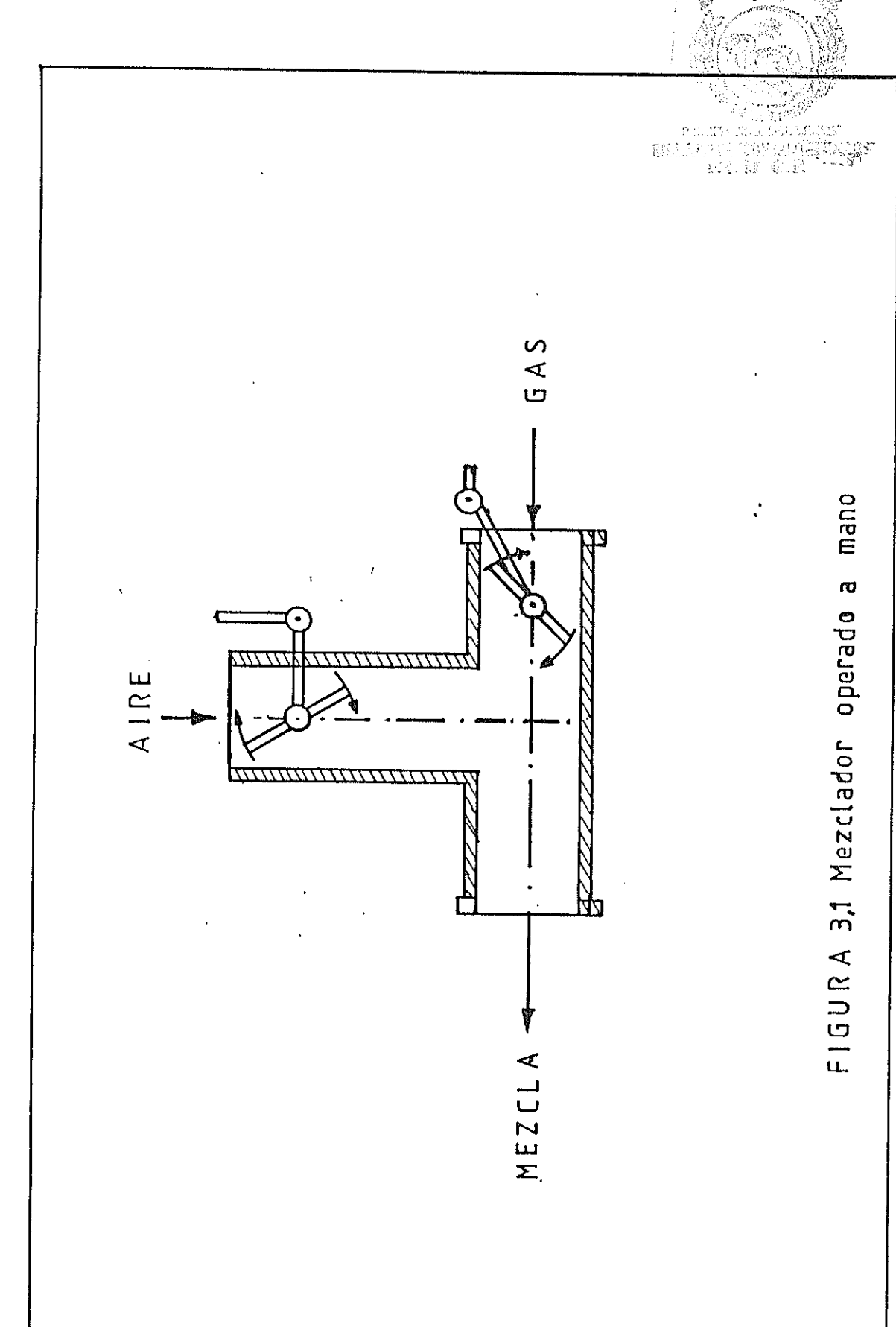
MEZCLADOR OPERADO MANUALMENTE

Es uno de los primeros diseños de mezcladores, siendo el más generalizado por ser de facíl construcción, además es bastante efectivo que permite un buen control tanto del gas pobre como del aire que forma la mezcla combustible.

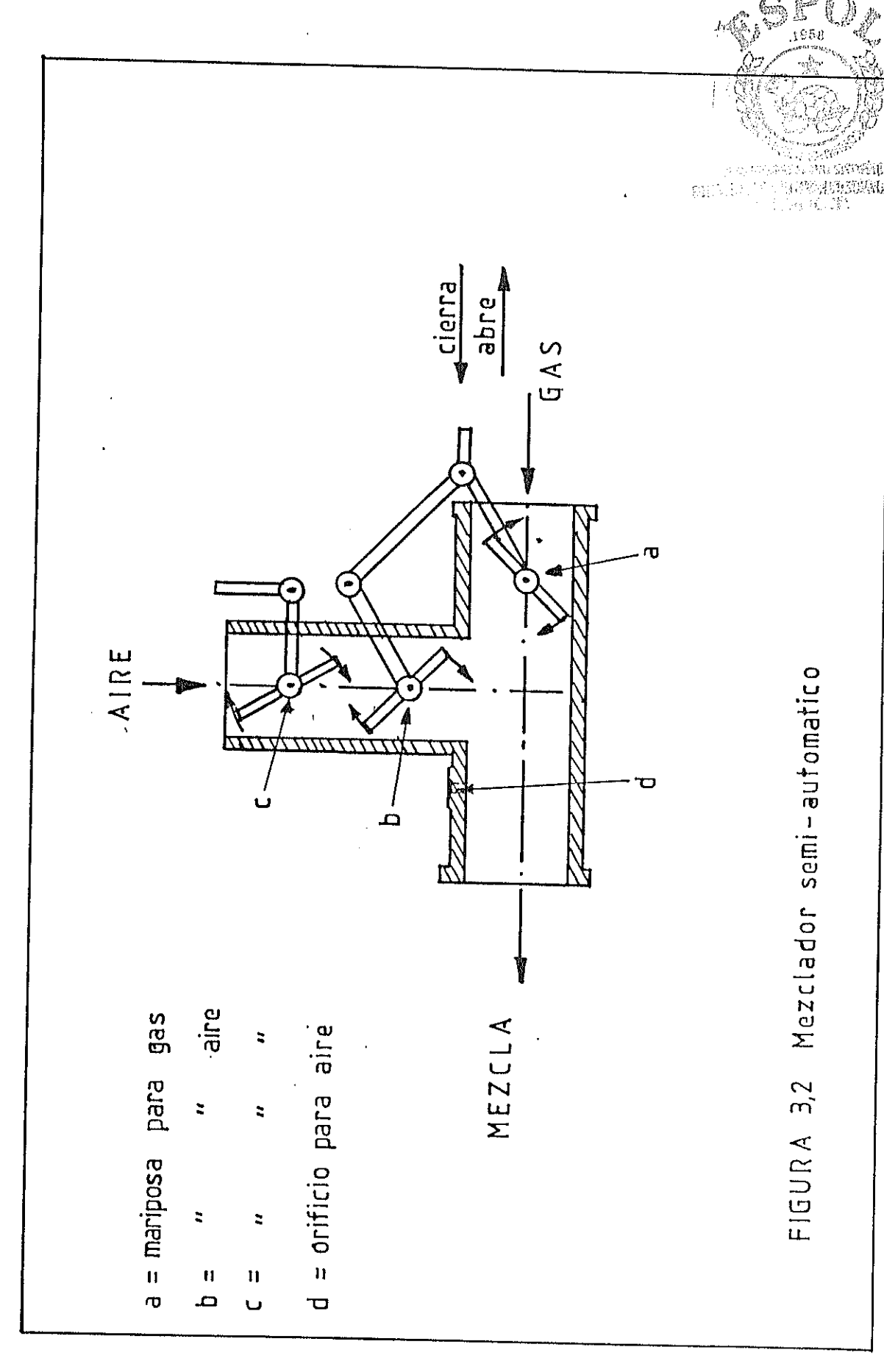
En la figura No. 3.1 se puede apreciar la forma como está construido, una mariposa controla la entrada del gas y otra controla el aire que finalmente formar la mezcla y llega a la cámara de combustión del motor.

MEZCLADOR SEMIAUTOMATICO

Este tipo de mezclador se puede decir que es una modificación del anterior diseño, una pequeña diferencia se da en que las mariposas "a" y "b" se encuentran vinculadas mecánicamente, de esta forma son controladas por el acelerador y dar una mejor facilidad en la formación de la mezcla, la mariposa "c" se opera por separado y la regulación se la



Fuente Ref:7



Fuente Ref: 7

realiza manualmente, con esta mariposa se hace una primera regulación de entrada del aire y con la mariposa "b" una segunda regulación del aire. La figura No. 3.2 muestra el mezclador detallado anteriormente.

MEZCLADOR COMPLETAMENTE AUTOMATICO

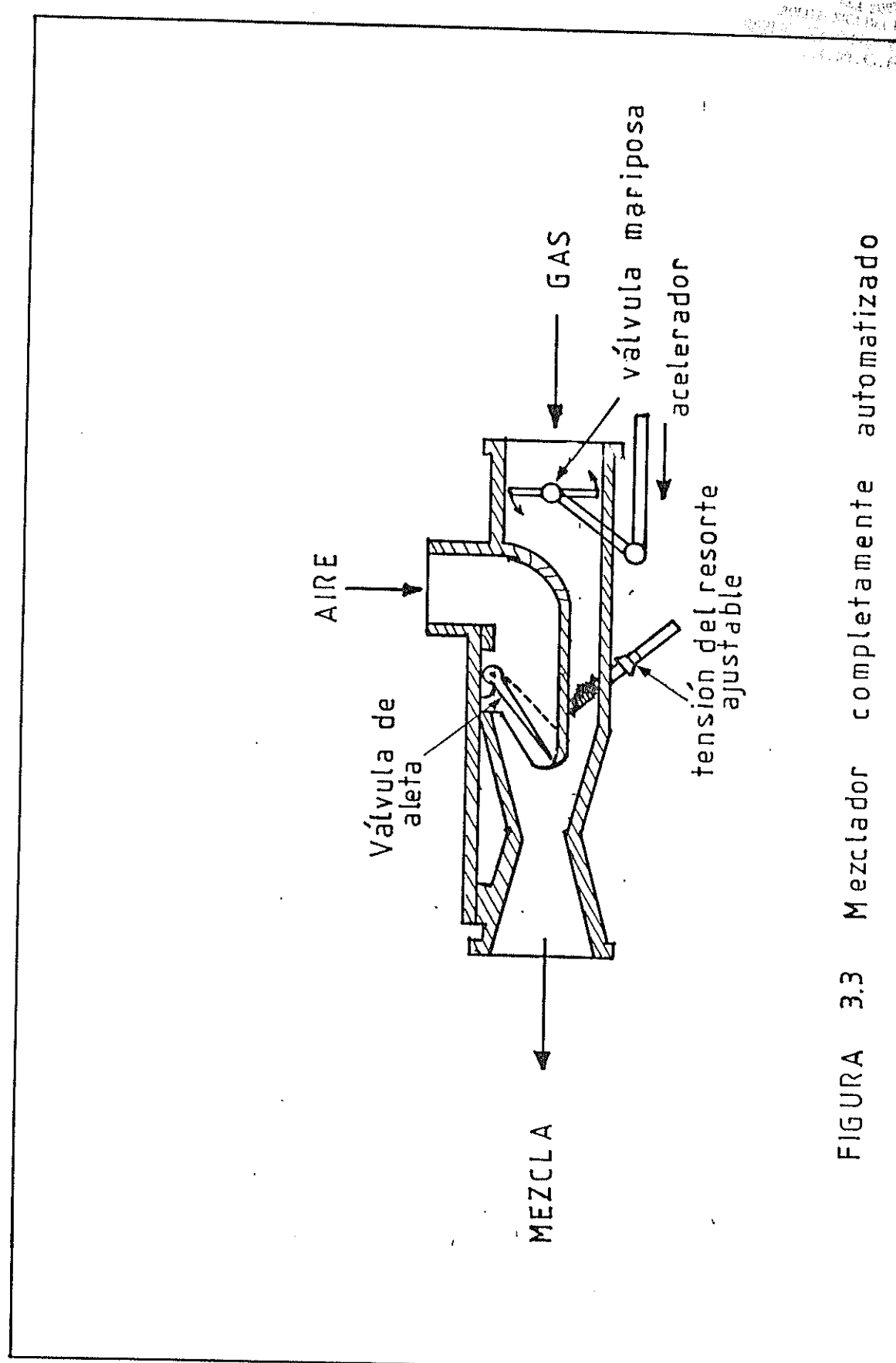
Con este tipo de mezclador se puede controlar los flujos de gas y aire completamente desde el pedal del acelerador a través de una válvula mariposa. El aire entra en el mezclador pasando por la válvula de aleta a una velocidad alta, la cual garantiza una mezcla turbulenta. La apertura de la válvula mariposa está regida por un aumento en la depresión de la tubería, normalmente es producida por una mayor demanda de gas por el motor.

Se ha reportado un rendimiento satisfactorio de este tipo de mezcladores. Además los arreglos para obtener la mezcla gas/aire se lo hace colocancando el mezclador delante del carburador del motor y no lo reemplazan a este dispositivo.

3.2 FUNCIONAMIENTO DE MEZCLADORES

El funcionamiento del mezclador en su forma más





FUENTE Ref: 7

elemental, se basa en el control de la regulación del gas y el aire para formar la mezcla que satisfaga las condiciones de operación del motor. El mezclador debe satisfacer con la mayor aproximación estos requerimientos, lo que resulta complicado si se tuviera que hacer una relación de mezcla para toda las variaciones de la potencia del motor.

En el funcionamiento de los diferentes tipos de mezcladores se hará referencia de cada uno, en la forma más elemental relacionados a los esquema de las figuras anteriores.

FUNCIONAMIENTO DEL MEZCLADOR MANUAL

la figura No. 3.1 se muestra el mezclador operado En manualmente, está compuesto de dos válvulas mariposas, las mismas que sirven para controlar la entrada aire como del gas. la válvula de la entrada del qas esta conectada mecánicamente con el pedal $d\omega I$ acelerador, mientras que la válvulá que controla flujo de aire está construida para ser operada manualmente. De esta manera se prepara la mezcla apropiada para el funcionamiento del motor con tipo de mezclador.



FUNCIONAMIENTO DEL MEZCLADOR SEMIAUTOMATICO

En la figura No. 3.2 se muestra este tipo de mezclador en que las maripasas "a" y "b" se encuentran vinculadas mecánicamente y son controladas por el acelerador. La mariposa "c" se opera manualmente. Este diseño no funciona bien en motores que usen dos tipos de combustibles (motores a diesel), porque el cierre parcial de la mariposa del gas "a" resulta que da un enriquecimiento de la mezcla, asociado con un aumento en el humo de escape.

El pequeño orificio "d" proporciona el aire necesario durante el tiempo de marcha en vacío para motores a diesel. En ese tiempo la mariposa "b" es cerrada totalmente y la mariposa "a" es abierta ligeramente para proporcionar una succión suficiente para un flujo de gas.

FUNCIONAMIENTO DEL MEZCLADOR AUTOMATICO

El diseño de este tipo de mezclador está representado en la figura No. 3.3. Para su funcionamiento se requiere que el aire entre con una velocidad alta para garantizar una mezcla turbulenta, ya que la apertura de la válvula mariposa se rige por un aumento en la depresión dentro de la tubería la cual normalmente es

producida por una mayor demanda de gas pobre. Con este tipo de mezclador la aceleración es obtenida de manera automática por el motor de acuerdo a la potencia requerida, a mayor potencia se abre la válvula mariposa a menor potencia se cierra.



CAFITULO No. 4

DESCRIPCION DEL EQUIPO EXPERIMENTAL

El equipo de experimentación está compuesto de un conjunto de elementos que van acoplados de tal manera que puedan realizar el objetivo de trabajo de esta tesis. Los elementos que forman este equipo experimental serán descritos posteriormente: banco de pruebas para el motor, planta de gasificación y mezclador de gas para el motor.

4.1 BANCO DE PRUEBAS

El banco de pruebas está formado de un motor de combustión interna monocilíndrico de cuatro tiempos, un dinamómetro e instrumentos de medida. El banco de pruebas es de la marca PLINT & PARTNEERS LTD Modelo TE 46 y consta de: voltímetro, amperimetro, regulador de carga, dinamómetro, banco de resistencia, medidor de flujo de aire, medidor de combustible.

El dinamómetro es lo relevante de este equipo ya que en base a sus características, se realizó las adaptaciones del motor. La figura No. 4.1 nos muestra una vista del equipo.

CARACTERISTICAS DEL DINAMOMETRO

Máxima velocidad permitida	3,600	RPM
Máxima potencia mecánica absorbida	Δ].	Kw
Minima potencia de salida	/** <u>}</u>	Κw
Minimo consumo de potencia del motor	Ş	Kw
Fusible carga del dinamómetro	20	Α
Aislamiento	30	Α

MOTOR. El motor usado en las pruebas fue monocilíndrico cuatro tiempos, desplazamiento volumétrico de 319 centímetros cúbicos, equipado con polea de arranque manual y encendido por medio de bujías. La figura No. 4.2 corresponde al motor empleado.

CARACTERISTICAS DEL MOTOR

Marca BRIGGS & STATION
Modelo 95435 L 464122
RPM 3.600
Fotencia 8 HP
Desplazamiento 319 cc.
4 Tiempos

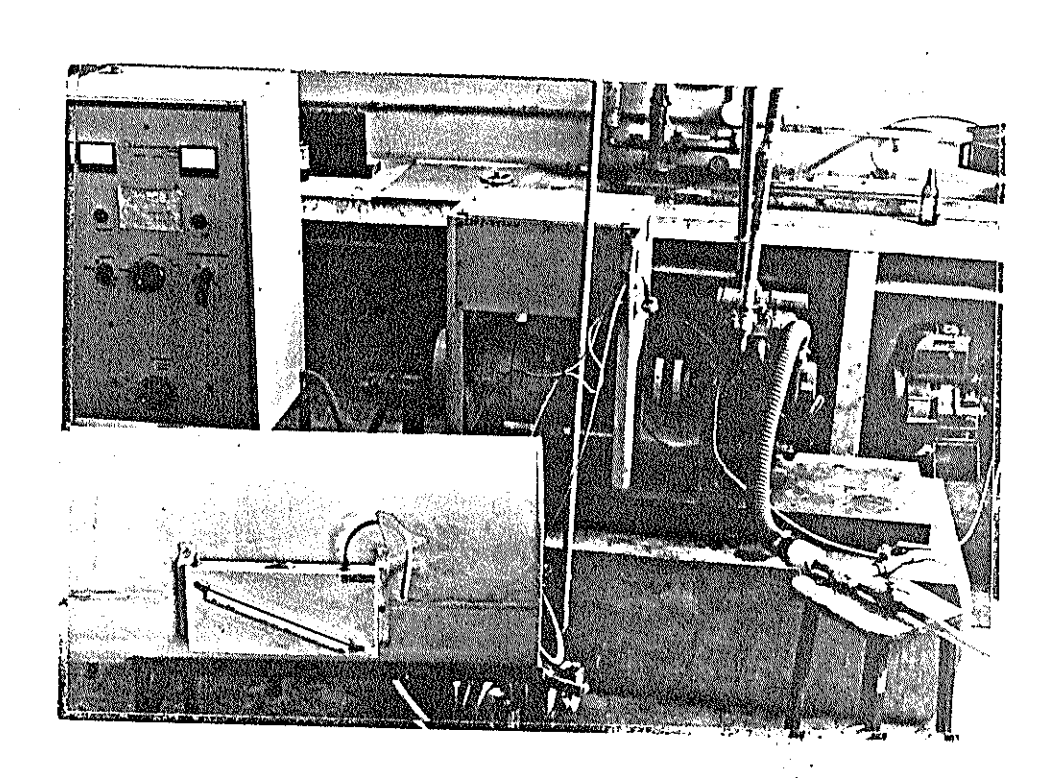


FIGURA N° 4.1 Banco de Pruebas

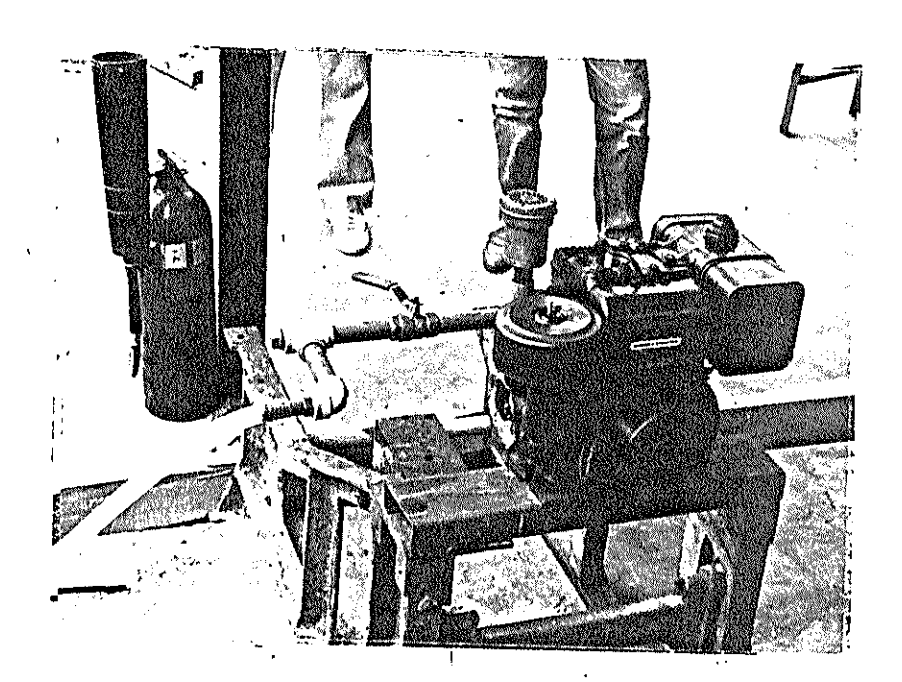


FIGURA N° 4.2 Moto Utilzado



4.2 PLANTA DE GASIFICACION

El conjunto generador de gas pobre y sistema de acondicionamiento del gas se lo denomina planta de producción de' gas pobre y está compuesta de las siguientes partes: gasificador, filtro, condensador, y quemador de gas. Todo esta planta de producción de gas está descrita en su totalidad (Referencia 6).

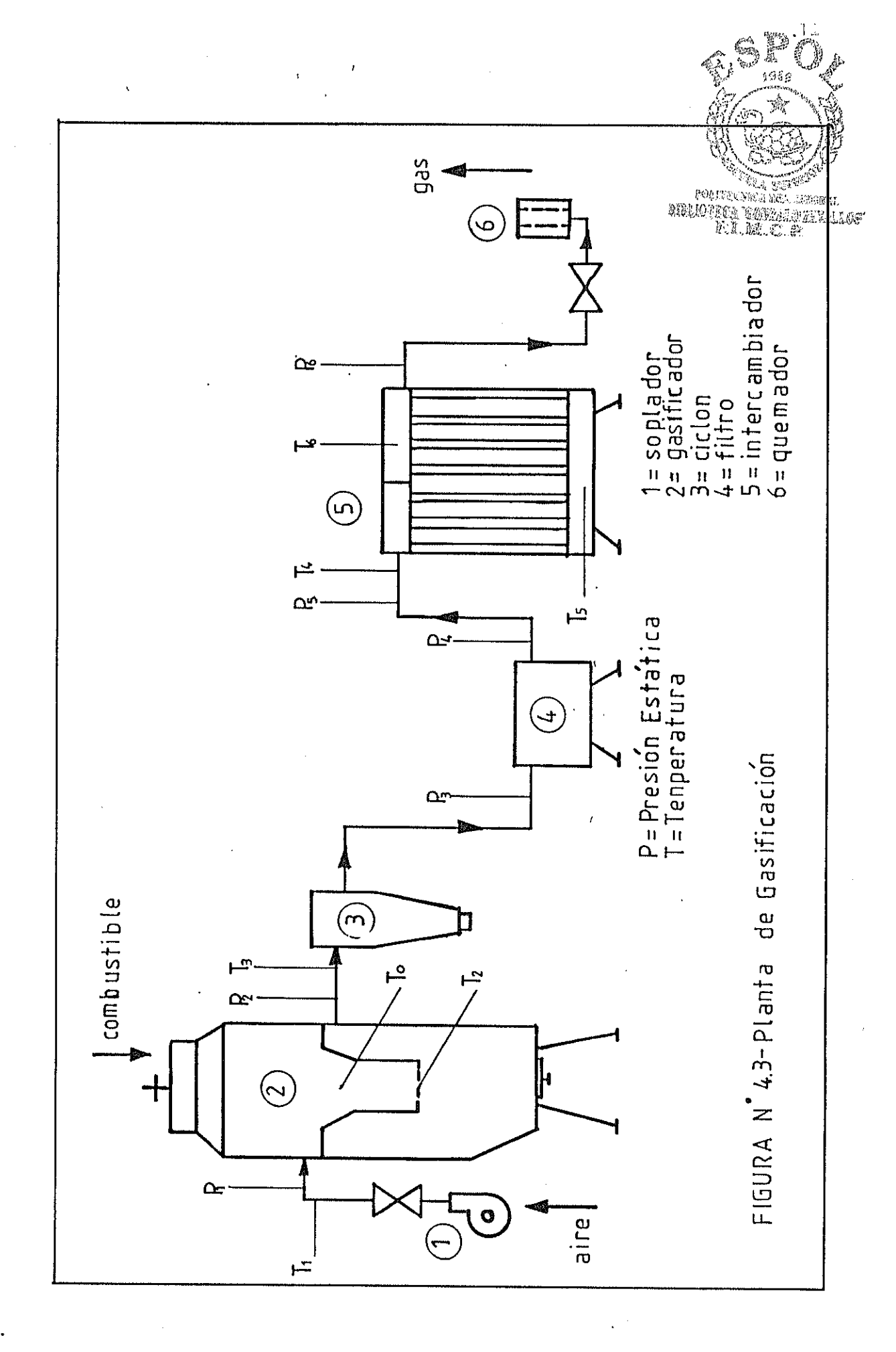
La planta de gasificación se muestra en la figura No. 4.3 y además la secuencia que sigue el gas.

4.3 MEZCLADOR

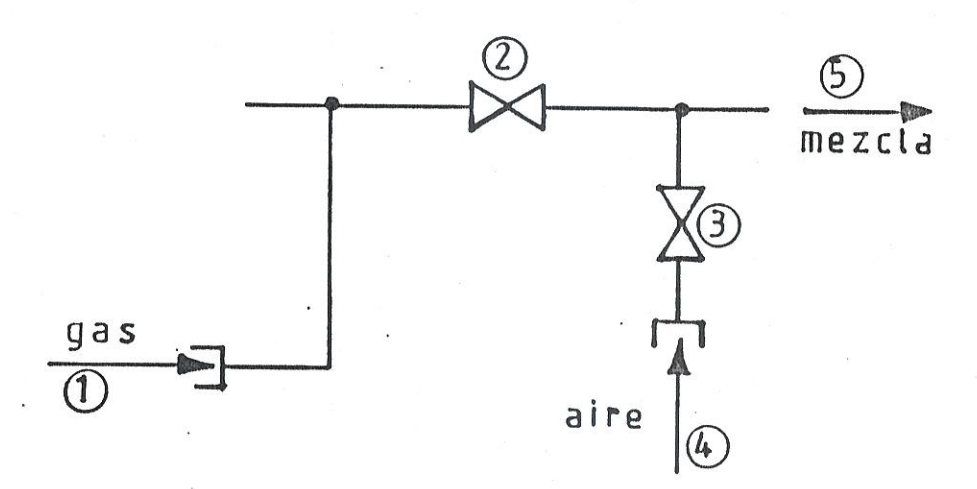
mezclador que se utilizó en las pruebas para motor es de construcción tubular muy sencilla y tiene dos válvulas de control que regulan la entrada del gas y el aire. La operación del mezclador se la realizó de forma resultados que se obtuvieron manual, los estas pruebas experimentales fueron favorables. Para dar una idea clara se recurre a un diagrama secuencial' funcionamiento del mezclador, donde se ve entrada de gas que está controlada por una válvula de para el control de la entrada de aire globo, utilizó la válvula mariposa del carburador del motor, teniéndose una buena regulación del aire y de esta forma obtener una mezcla combustible para el motor. En

la figura No. 4.4 se muestra el mezclador utilizado en las pruebas del motor.

Company of the second of the s



Esquema Secuencial del Mezclador



- 1 Entrada de gas 2 Válvula de globo
- 3 Válvula mariposa del carburador 4 Entrada de aire 5 Salida de mezcla

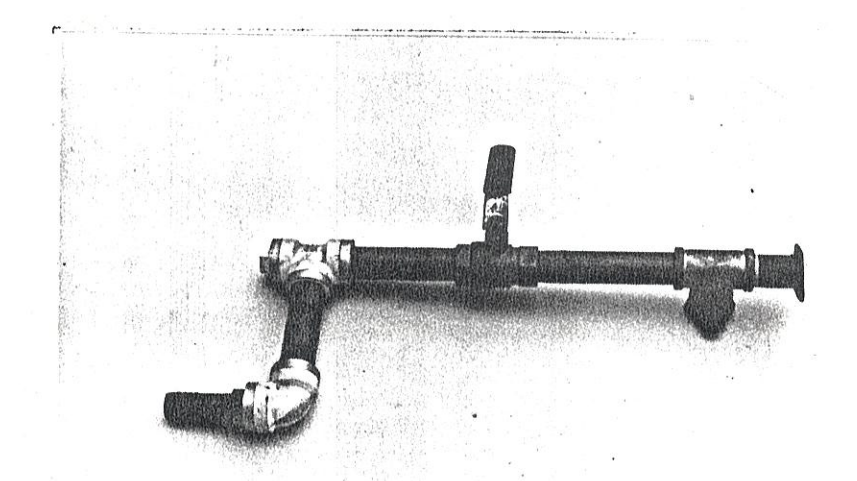


FIGURA N° 4.4 Mezclador de gas



ÇAPITULO No. 5

PRUEBAS EXPERIMENTALES

5.1 PRUEBAS DE GASIFICACION

Para las pruebas de gasificación se utilizó un queiticador de tiro descendente construido en la ESPOL. La

descripción del sistema, diseño y funcionamiento se

detallan en su totalidad en la Referencia 6. Se

realizaron pruebas con tres tipos de materia prima, a)

con madera troceada de 5 cm de lado, b) carbón vegetal

previamente seleccionado de dimensiones similares a la

madera, c) tusas de maiz del tamaño original. Con el

objetivo de obtener experiencia en el funcionamiento

del gasificador, primeramente se realizaron pruebas

preliminares de observación variando el caudal de

aire, siendo un parámetro de mucha importancia en la

producción de gas, además se observó que la humedad

del combustible es otro parámetro que hay que tener

en cuenta en la obtención del gas.

Posteriormente se realizaron pruebas con toma de delo...

para hacer un análisis del comportamiento de les dele...

rentes combustibles utilizados.

Los datos tomados en las pruebas de experimentación son los siguientes: presión y temporatura ambiente, consumo de combustible, caudal de aire en la entrada del gasificador, concentración de los gazos, temperaturas en diferentes puntos de la planta de gasificación figura No. 4.3, tiempo de operación. Feda estos datos se utilizaran para los cálculos, de densidad, poder calorífico, refoción de aire/combustible entre el real y teórico.

5.1.1 Funcionamiento del gasificador

Para el funcionamiento del gasificador se sigue un procedimiento que se describe a continuación para una operación acertada de la planta de gasificación en la obtención del gas combustible.

Operación del gasificador:

a. Alimentar carbón sobre la parrilla hasta la altura del plato garganta.

- b. Hacer un lecho de madera o carbón cobre el plato garganta para el encendido inicial.
- c. Colocar combustible liquido o cualquier otro
 combustible que facilite el encendido del lecho
 colocado sobre el plato garganta.
- d. Mediante un mechero iniciar la ignición del combustible sólido, se lo realiza por la parte superior del gasificador.
- e. Prender el soplador de aire con un bajo caudal durante 5 minutos.
- f. Cargar el combustible a gasificar de acuerdo al tiempo de operación dol equipo.
- g. Cerrar berméticamente la tapa del reactor.
- h. Verificar la generación de gas combustiblo por encendido del mismo.
- i. Para la nueva alimentación de combestible, apagar el soplador y cerrar la válvula de entrada de aire, abrir paulatinamente la tapa del gasificador, quemar el gas residual.
- j. Proceder a realimentar la nueva carga, cerrar herméticamente, prender el soplador.
- k. En caso de operar una vez por día es

aconsejable retirar las cenizas y residuos que se encuentren acumulados en la parte inferior del gasificador.

5.1.2 Gasificación con madera

En la gasificación con madera se realizaron varias pruebas que se reportan en el Apéndice A tabla de datos de como se llevaron a cabo las mismas, el tiempo de operación de cada prueba, gráfico de temperaturas en diferentes puntos de la planta de gasificaión que se muestra en la figura No. 4.3, datos de presiones en diferentes puntos.

El consumo de combustible fue de 7.54 Kg/hr entre la pruebas más representativos en la producción de gas con madera, el caudal de aire fue muy variado realizando una estimación promedio de 14.32 Kg/hr, el tiempo que tarda en la producción del gas depende de la forma en que se realiza la operación del gasificador.

Si se coloca carbón en la parrilla la producción de gas comienza entre 3-5 minutos, si no so coloca carbón en la parrilla el tiempo en que se produce gas es de 30-40 minutos después de iniciado el encendido, es el tiempo en que tanda para formarse la zona de reducción en el gasificador.

Todas estas variaciones de los parámetros antes mencionados se los realizaron por características de diseño del gasificador ya que el consumo debía ser de 26 kg/hr para madera y el comsumo de aire de 30-40 kg/hr, con estas condiciones no se pudo obtener gas combustible, razón por la cual se utilizaron otros valores de consumo de aire y combustible con lo que si se obtuvo gas combustible.

5.1.3 Gasificación con carbón vegetal

Para la operación de la planta de gasificación utilizando como combustible carbón vegetal se siguió el mismo procedimento que con madera, los datos, gráficos y resultados de estas pruebas se muestran en el Apéndice B.

Las pruebas de gasificación se realizaron con dos variantes, la primera fue con el plato garganta, obteniéndose la producción de gas en un tiempo de 5-10 minutos con un consumo de combustible de 4.0 kg/hr y la segunda sin plato

garganta la obtención de gas fue después de Rolles.

MILLOTES TORS.....
minutos con un consumo de combustible 6.0 Eg/Nf. W.C.P.

Con respecto al consumo de aire el caudal de operación para la obtención de gas combustible fue de 25.00-35.00 Kg/hr.

Los gráficos de temperaturas que se reportan en el Apendice B se muestra una clara diferencia de las temperaturas con respecto a la madera y tusas de maíz, es decir, que con carbón vegetal para obtener gas combustible se requiere de mayor temperatura. Además el gas es más limpio por tener menor cantidad de líquido condensable.

5.1.4 Gasificación con tusas de maíz

El procedimiento seguido en estas pruebas fue el utilizado anteriormente con la única variante que el cobustible era tusas de maiz de tamaño original.

Los datos, gráficos y resultados do estas pruebas se reportan en el Apéndice C, donde se puede ver que la variación de los parámetros son notorios hasta llegar a un rango de operación en donde se obtiene gas combustible, el consumo do

combustile en este caso es de 7.80-11.30 Kg/hr esto se debe a la fácil combustión de las tusas de maiz.

La obtención del gas combustible se produce a los 10- 15 minutos después del jencendido, el gas resultante tiene una coloración oscura, diferente a los anteriores.

Para obtener una buena producción de gas se deberá tener cuidado en la limpieza de la materia prima y la humedad de la misma, siendo determinante en la calidad del gas, además evitar taponeo en el plato garganta al fundirse residuos de impurezas y cenizas.

Las temperaturas de operación con tusas de maíz tienen un comportamiento similar a las pruebas realizadas con madera.

5.2 OPERACION DEL MOTOR A VELOCIDAD VARIABLE Y CONSTANTE USANDO GASOLINA

Las pruebas experimentales aqui consideradas son aquellas que sirven para obtener los datos con los que se

van a realizar los cálculos de los parámetros ,

caracterlicos de un motor operado con gasolina.

El procedimiento a seguir para realizar estas pruebas experimentales a velocidades variable y constante se describen en la Referencia 14. La operación del motor se la realizó en un rango pequeño, los datos de velocidad se toman de manera diferente, teniendo la máxima velocidad sin carga, luego empezar a aplicar la misma y tomar los datos respectivos. Todo ésto se lo hace porque el funcionamiento del motor con gas pobre está entre estos rangos de operación donde se pueden registrar los datos.

Teniendo los datos necesarios se dá un ejemplo de como se realizan los cálculos de los parámetros buscados para efectuar los gráficos de las curvas y hacer las comparaciones respectivas.

Los datos tomados en el banco de pruebas son:

Velocidad	3.210	RFM_H
Carga al freno	17,5	Newton
Tiempo	36,4	seg
Voltaje	209,0	٧
Amperaje	4,0	А
Presión de vacío (aire)	30,5	mm H₂O
Volumen	25,0	c: c

<u>CALCULOS</u>

Consumo de Combustible. El comsumo de combustible está dado por la relación.

De donde:

$$\frac{\text{Kg}}{\text{br}} = \frac{3,6 * 25 * 0,735}{36,44} = 1.82 \frac{\text{g/hr}}{\text{hr}}.$$

Potencia. La potencia viene dada por la relación.

Entonces tendremos que:

Consumo específico de combustible. Está dado por:

CEC =
$$\frac{1,82}{---}$$
 = 0.86

Potencia eléctrica disipada.

Torque. Viene dado por la relación.

$$T = N * L$$

$$L = 0.265 \text{ m}$$

$$T = 17.5 * 0.265 = 4.64 Nm$$

Eficiencia térmica. Está dada por:

$$3.6 * 10^{6}$$
Nt = $-------- * 100 (%)$
CEC * HL

A cotinuación de adjunta tabla de datos y tabla de resultados.

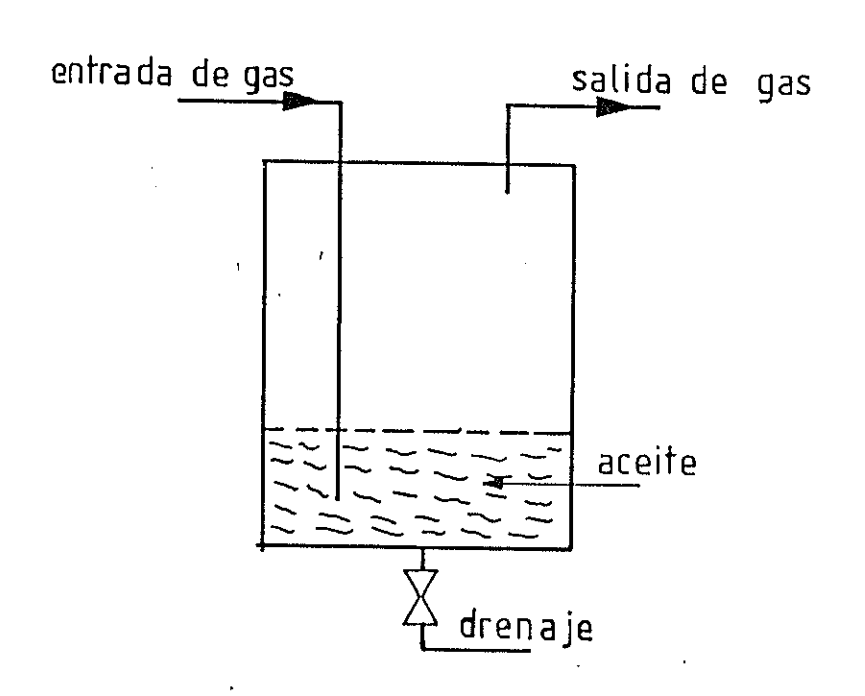
5.3 OPERACION DEL MOTOR A VELOCIDAD VARIABLE Y CONSTANTE USANDO GAS POBRE

Una de las aplicaciones del gas pobre es en motores de combustión interna, siendo una parte del trabajo de esta tesis. Para llevar a efecto las pruebas de operación del motor con gas pobre se realizaron los siguentes trabajos, acoplamiento del mezclador con la cámara de combustión del motor, ver figura No. 4.2 y el mezclador con su respectivo diagrama secuencial de funcionamiento en la figura No. 4.4.

Para las pruebas con el motor se construyó un filtro purificador de gas que consiste en un recipiente de 40 litros de volumen conteniendo en su interior 5 litros de aceite que sírve de retenedor de particulas y vapores no condensables, ver figura No. 5.1.

PROCEDIMIENTO PARA VELOCIDAD VARIABLE

Primeramente se hace arrancar el motor con gasolina y se lo deja en funcionamiento durante 5 minutos, después se cierra la entrada de gasolina para introducir gas de manera lenta hasta tener un buen funcionamiento del motor, ver figura No. 4.2 y llevarlo a su máxima velocidad sin carga que fue de 3.360 RPM para después aplicar carga de manera que la



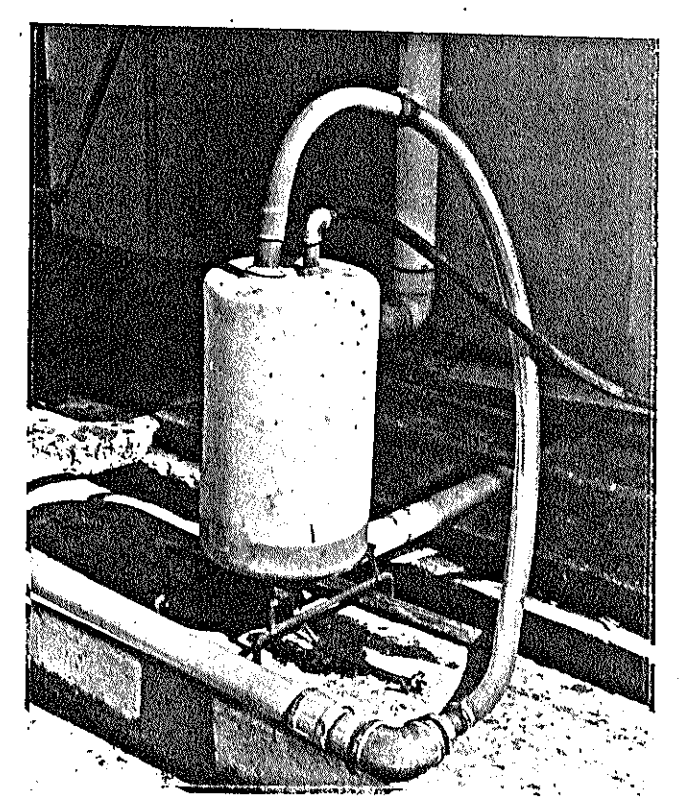


FIGURA N° 5.1 Filtro para limpieza de gas

velocidad varíe en disminución hasta 2.30 tabla No. 5.3 como se tomaron los datos.



PROCEDIMIENTO PARA VELOCIDAD CONSTANTE

arranca el motor con gasolina por un tiempo de minutos, lo suficiente para que el motor se caliente, la entrada de gasolina cerrar у а -continuación introducir gas paulatinamente hasta tener funcionamiento del motor. Utilizando una llave de globo como acelerador, abierta un 50%, se mantiene la velocidad 2.500 RPM aplicando una cl⊛ determinada la carga se aumenta y el motor se lo lleva nuevamente | a las 2.500 RPM aumentando la apertura | de la válvula de globo, esta operación se la repite hasta llegar al 100% de apertura de la válvula.

Los datos, resultados y gráficos de curvas de comparación estan después del ejemplo con sus cálculos correspondientes.

Velocided	3.030	RPM
Carga al freno	7.5	Mewton
Velocidad del gas	10.9	m/seg
Voltaje	170	V
Amperaje	2.2	Δ
Presión de vacío (aire)	17.5	min H ₅₂

Area por donde pasa el gas 2.8*104 ${\rm m}^{2}$ Densidad del gas 1.050 ${\rm Kg/m}^{2}$ Poder calorífico 4.073 ${\rm Mj/Kg}$

CALCULOS:

Consumo de Combustible. El consumo de combustible está dado por la relación siguiente.

$$Q = \sqrt{x}$$
 a $\sqrt{x} = \sqrt{x}$ \sqrt{x} $\sqrt{x} = \sqrt{x}$ \sqrt{x} \sqrt

$$Q = 10.9 * 2.8 * 104 * 3.600$$

$$G = 11.14 \text{ m}^{-1}/\text{hr}$$

De donde:

Potencia. La relación que da la potencia:

Consumo específico de combustible:

$$\frac{\dot{\text{CEC}} = \frac{\text{Kg/hr}}{\text{CV}}}{\text{CV}}$$

$$CEC = \frac{11.71}{0.86} = 13.61$$

Potencia eléctrica disipada:

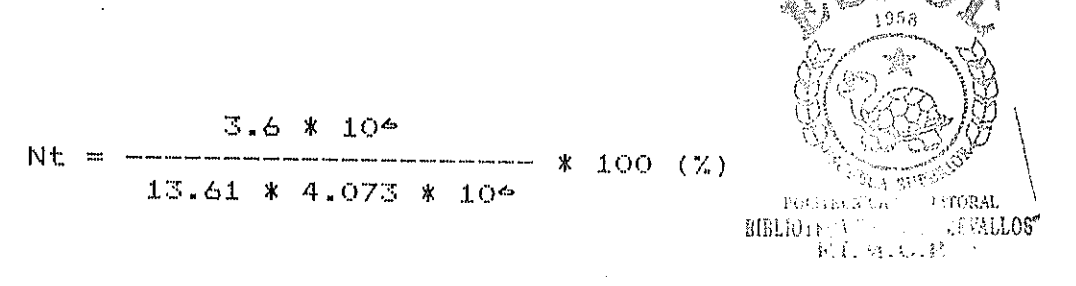
$$KW = \frac{V * A}{1.000}$$

$$KW = \frac{170 \times 2.2}{1.000} = 0.37$$

Torque. Está dado por:

$$T = 0.265 * 7.5 = 1.98 Nm$$

Eficiencia térmica:



Nt = 6,49 %

TABLA # 5:1

DATOS DE LA PRUEBA DEL MOTOR COM GASOLINIA.

KAL KALINGS

	***************************************	VELOCIDA	D VARIABLE	1	a and a more in Journal of the figure of the second of the
RFM 	TORQUE (New-mt)	r TIEMPO (seg)	VOLTAJE (Y)	T AMPERAJE (A)	T AIRE mm H20
3.540	5,5	34,44	1 290 1	0,5	 31,50
3.360	1 12,5	 35,21 	I I 202 I	 4,2 	 32,50
3.210 	17,5	 36,44 	 209 	 6,0 	l 30,50
 2.850 	1 23,0 	 36,75 	 222 	l l 7,5 l	 31,50
 2.640 	 32,0	 38,56 	 231 ·	 7,6 	 29,00
 2.220 		41,17	 209 	 9,0 	 26,00
 	 	 	! !]
######################################	.h.(1212-1,245)	VELOCIDAI) CONSTANTE		I
1 2.800	 39,0 	32,12	 240 	10,0	[54 ₊ 0
	 36,5 	 32,47 	 230 	 9,5 	
	 28,0 	 40,57 	 230 	 7,5 	 33,0
	 26,0 	44,14 	 550 	7,0	 32,0
	 23,0 	54,53	 210 	 6,5] 27,0
]	 16,5 	59,80	 200 	4 ₉ 5	 10,0
	! ,]]		

 		MICHAEL TO THE TOTAL THE	TABLA	# 5: 2	**************************************		Control or disease age of \$100 and pe
ļ R	ESULTAD	OS DE LA	PRUEBA	DEL MOT	OR COM	GASOLIN	IA
		. VELO	CIDAD VA	RIABLE	ang (Nabuletzan ungar) 1500 (lake		
CC Kg/hr 	Pot CV 	CEC Kg/CVhr	*Pot KW	T N-m	Fa Kg/hr 	1 (%)	A/C
11,72	 0,73 	1 2,61 	 0,14 	1 1,46	 14,70 	 3,31 	 7,66
 1,88	1 1,58	 1,18 !	 0,84 	 3,31 	 14,93 	1 1 7,27 1	1 1 7,94 1
 1,82 	2,12 2	l 0,86 	 1,25 	 4,64 	114,46	110,46	 7,94
1,80	1 2,46 1	 0,73 	 1,66 	 6,09 	115,31	 111,85 	 8,51
1 1,72 1,72 	 3,19 	 0,54 	l 1,75 	 8,48 	 14,10 	 15,99 	 8,20
1,61 	3,18 	1 0,50 	1 1,88 	 10,07 	 13,36 	117,26	 8,29
	<u>.</u>	! !		! 	! ! .L	 - 	
	·}	VELOC	CIDAD CO	NSTANTE		-1)
 2,06 	 4,12 	 0,50 	 2,40 	 10,34 	 19,25 	i 17,25 	i 1 9,34 1
 2,04 	l 3,86 	 0,53 	2,19	 9 _# 67 	 18,15 	 16,28 	 9,23
1,63	 2,96 	 0,55 	/1,73	 7,42 	 15,05 	 15,67 	 9,23
1,50	 2,75 	0,55 0,55	1,54	l 6,89 	 14,82 	 15,68 	 9,88
1,21	 2,43 	0,49	1,37	 6,09 	 13,61 	 13,61 	 111,21
1,11	1,74 1,74 	0,64 	0,90	 4,37 	 11	1 13,48 	 10,01
	l				l	1	,

.

£.



TABLA # 5:3

DATOS DE LA PRUEBA DEL MOTOR CON GAS PONDE

	THIES DE	. LA PRUEB	A DEL MOT	OR CON GAS (POBRE
***************************************	······································	VELOCIDA	D VARIABLI	plan Os Os	
F(F) 	TORQUE (Newton)	 VELOCIDA gas m/sg	VOLTAJE (V)	AMPERAJE (A)	AIRE mm H2O
 3,360 	 7,0	1 11,43	190	2,2	l 20,5
1 3.030	7,5	10,92	170	2,2	1 17,5
3.000	1 8,0	11,08	1 175	2,0	 16,0
2.790	18,0	 11,68	 175	6,0	 15,0
2.640	17,0	11,43	162	5,4	1 13,0
1 2.490	19,0	1 12,19	172	1 5,8	1 1 12,5
1 2.400	1 20,0	1 11,69	172	! ! 5,8	1 12,0
1 2.280	19,0	10,67	168	 5,8	1 11,5
2.300	21.0	11,69	150	6,5	1 1 9,5
		, I	·	!	1
		VELOCIDAD	CONSTANT	T.,	
 2.500	11,0	11,69	160	. . 4,8	[[20,5
	16,0	11,69	185	 4,0	 <u>1</u> 4,0
	1 17,0	11,99	185	 4 _π ο	14,0
· · · · · · · · · · · · · · · · · · ·	18,0	12,19	205	l l 4,5	 12,5
1848 6440 ELL & 4441 4144	20,0	12,70	220	l 1 5,0	[12,0
dampa haran alaka zabin panin	1 20,0 1	12,80	215	4,8	 11,5
astud priva acred curve consp	1 20,0 1 20,0	12,50	180	6,0	13,5
darra sacial agents speed adding	18,0	12,30	170	5,6	12,0
	·	1	 	 	1
	· .	!	1]

100



			TABLA	##	5:	4			
RESULTADOS	DE	LA	PRUEBA	DEL	MC	TOR	CON	GAS	PARRE

	977 FEBRUARIA PARISA PARISA PER FEBRUARIA PER	, , , , , , , , , , , , , , , , , , , 	TABLA	# 5: 4) Plental (deather age own yppy) (deathel lid. sz.	test dispetit \$ 110 companying	Commentation of the control of the c
l Ri	ESULTAD	OS DE LA	FRUEBA :	DEL MOT	OR CON (SAS POB	RE
	***************************************	VELO	CIDAD VA	RIABLE		-Profesiology de 21. de 21. gga et 4847 des	eri angendersekkonk on 1964 km dan i
CC Kg/hr	Pot CV	CEC Kg/CVhr	*Pot KW	T N-m	l Fa [Kg/hr	Nt (%)	I AZC
 12,25	 0,89 	; 13,76		 1,85	11,86	1 6,42	0,97
11,71	0,86 	1 13,61	0,37	1 1,98	10,48	16,49	0,94
11,87 	0,91 	13,11 	0,35	2,12	10,48	1 6,74	0,88
i 12,52	1,89	6,61	1,05	4,77	1 10,14	13,37	. 0,81
12,25	1,69	, 7,23	, 0,87	1 4,50	1 [9,44	112,23	 0,77
13,07	1,78	, 7,34	1 / 0,99	1 5 _# 03	1 9,26	1 12,04	 0,71
1 12,52	1,81	6,91	, 0,99	 5,30	9,07	112,79	 0,72
11,43	1,63	1 6,99	0,97	 5,03	1 8,88	112,64	 0,77
12,52	1,66	7,52	0,97	, 5,56 	 8,07	 11,75	 0,64
		 		! 	 	1 -	; [
	ol maid is obsessment and considerations and	VELO	CIDAD CO	VSTANTE	L-11		h
 12,52	1,04	 12,06	0,77	 2,90	 11,86	7,33	 0,75
12,85 	1,51	 8,51	0,74	1 4,24 	, 9,80	10,37	0,76
 11,78 	1,60	7,47	0,76	1 4,51	9,801	111,83	0,81
13,07	1,70	1 7,69	0,92	4,77	1 9,26	111,49	0,71
13,61 13,61	1,89	, 7,21 7,21	1,10	5,30	9,07	12,26	 0,66
13,72 	1,89	 7,26	1,03	 5,30 	8,88	12,17	0,65 86,0
13,39 	1,89	7,27	1,08	 5,30 	9,62	12,16	 0,72
13,18 	1,70	1 7,76 	0,95	 4,77	9,07 9,07	13,39	 0 _# 68 1
 		 				;	, 1] [

GRAFICO 5.1

CURVAS CARACTERISTICAS PARA GASOLINA

Y GAS POBRE VELOCIDAD VARIABLE

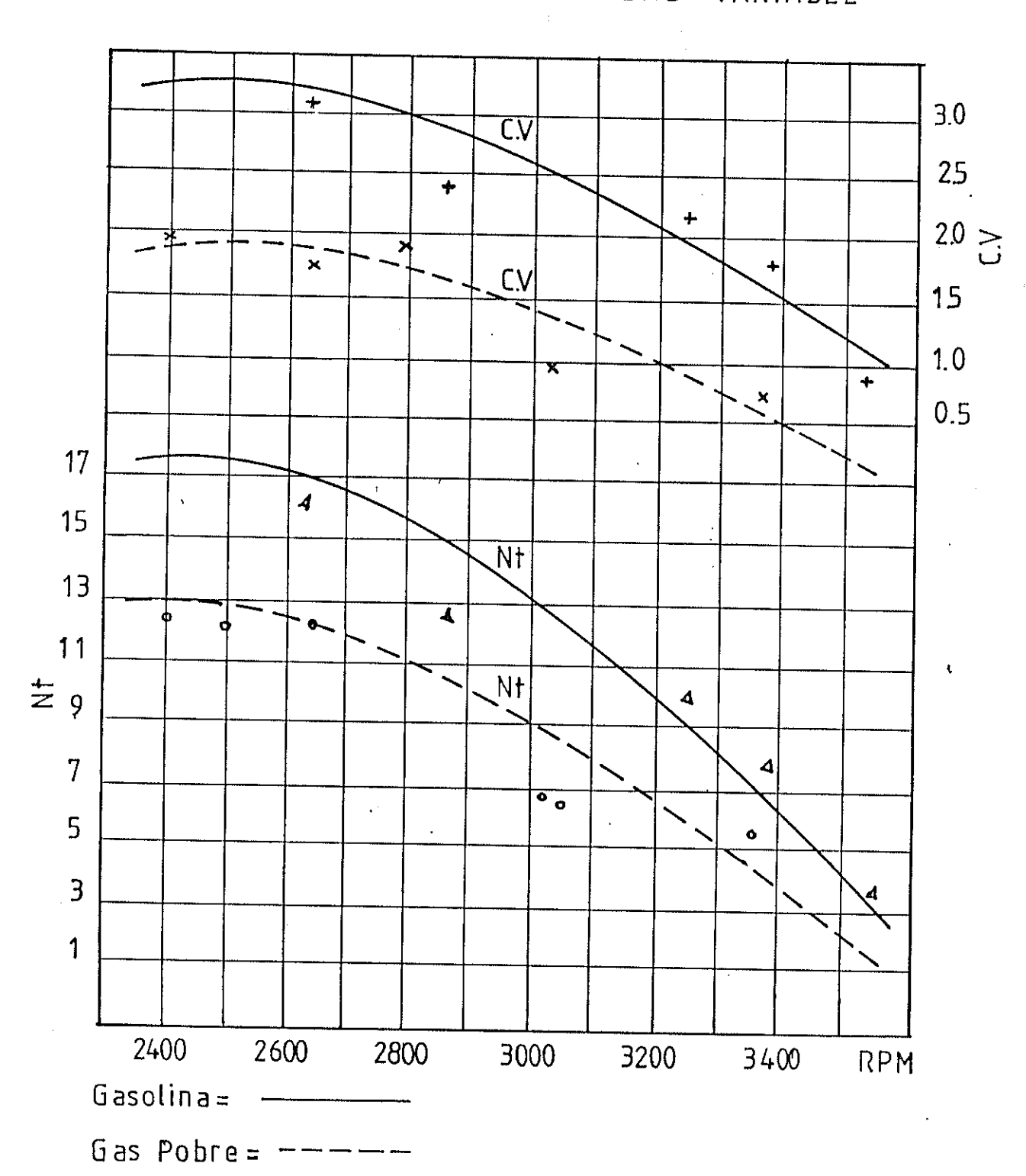


GRAFICO 5.2 CURVAS CARACTERISTICAS PARA GASOLINA REPORTATION DE LINORAL Y GAS POBRE VELOCIDAD VARIABLE

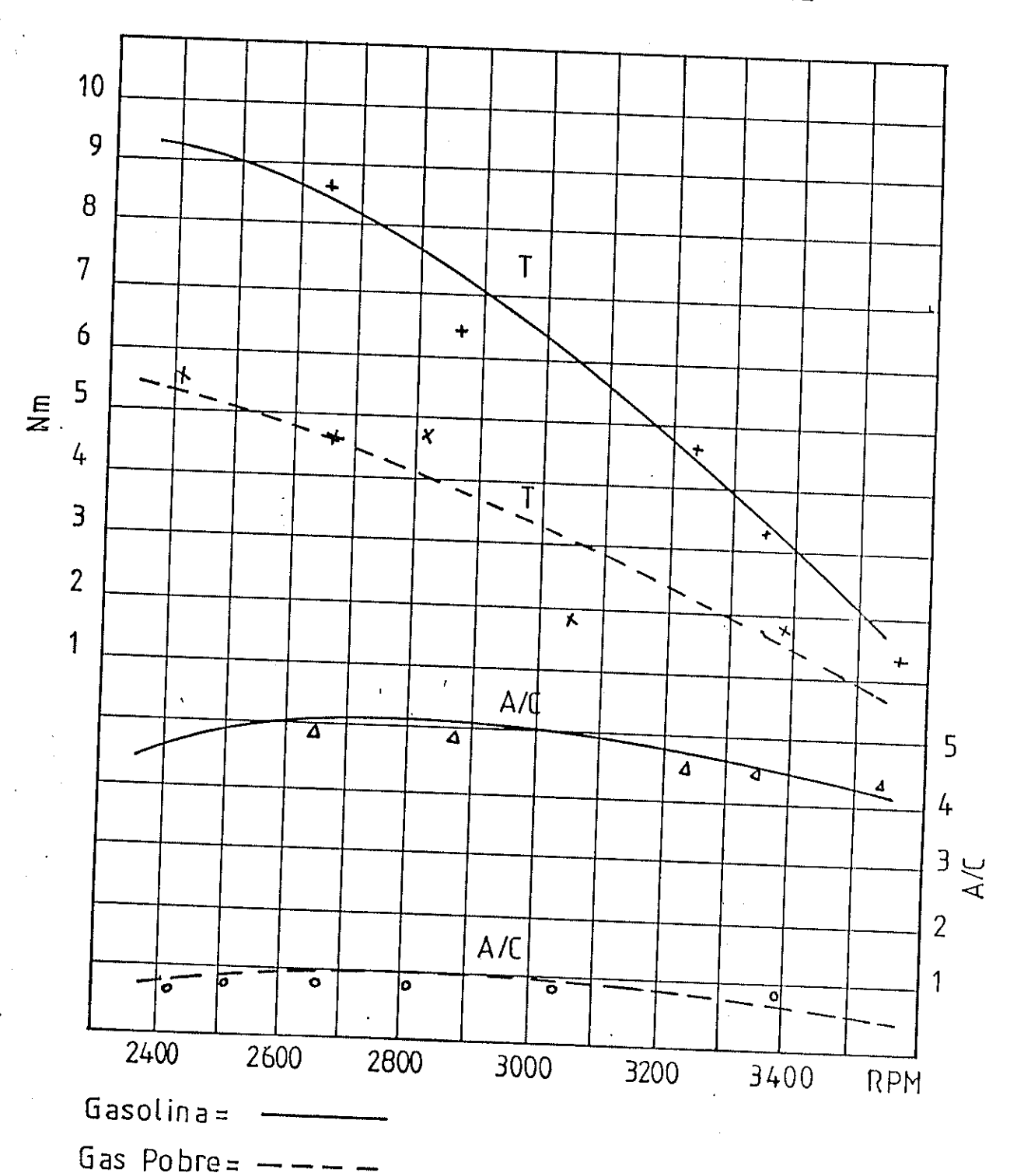
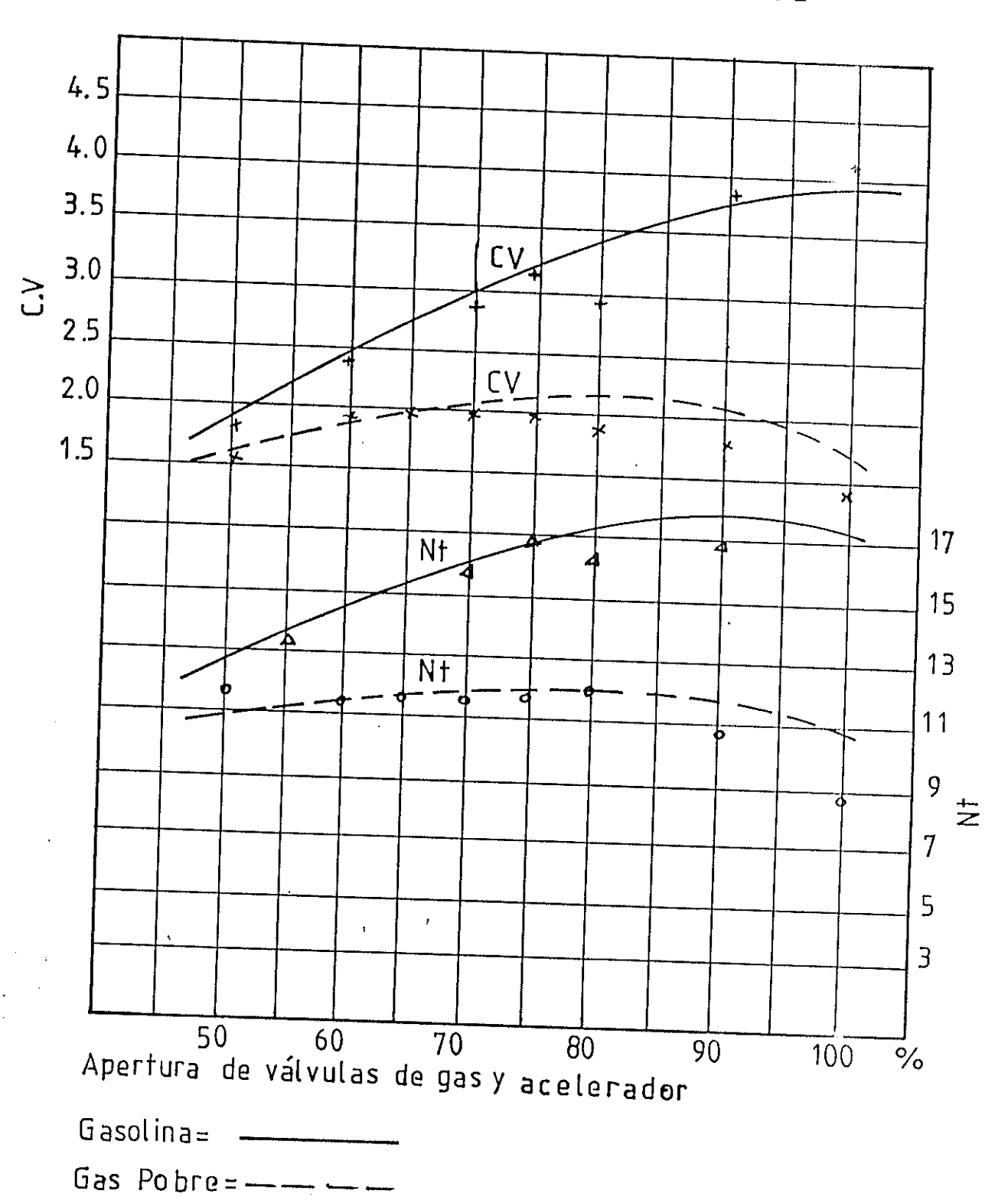
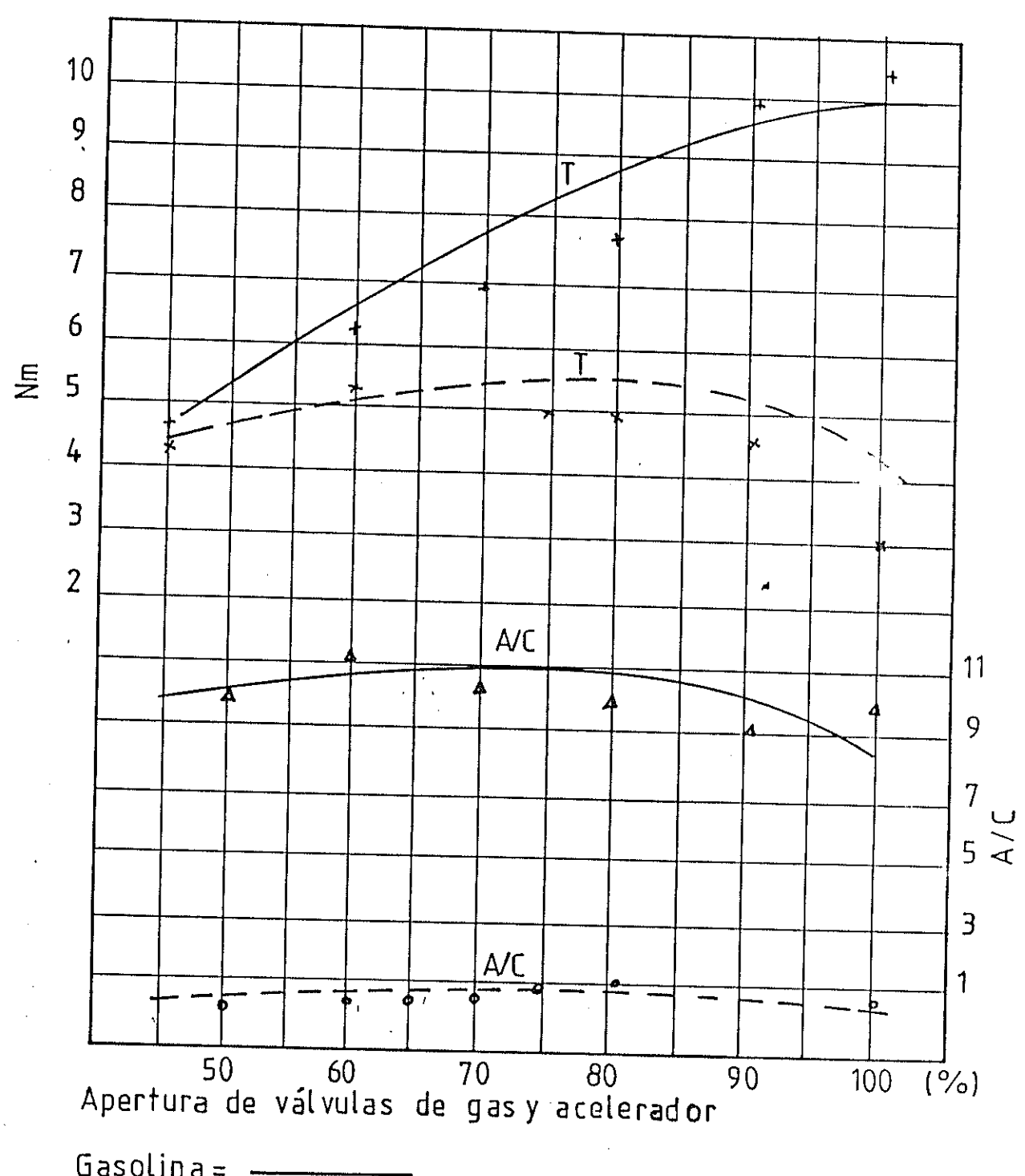


GRAFICO 5.3

CURVAS CARACTERISTICA PARA GASOLINA
Y GAS POBRE VELOCIDAD CONSTANTE



--- i



Gasolina = _____

Gas Pobre= — — -



ANALISIS DE RESULTADOS

RESULTADOS DE GASIFICACION

Para realizar el análisis de los resultados de las pruebas experimentales de gasificación de residuos agroforestales, se compara los porcentajes de los elementos que lo componen, con datos de experimentos realizados en otros países y los obtenidos en estas pruebas (Apéndices A,B,C).

RESULTADOS DE REFERENCIAS

Concentración de Gases (%)			vegetal
% CO ₂	9 - 15	1.	- 7
% Oæ	0 - 1	0	- 1
% CO	17 - 22	23	**************************************
% H _≈	12 - 20	4	- 10
% Na	45 - 50	ES ES	- 65
Poder calorífico MJ/Nm³	5,0 -	5,9 4,5	- 5.6

FUENTE Ref: 7

TABLA DE RESULTADOS EXPERIMENTALES								
	DE LAS PRUEBAS	DE GASIFICACIÓ	М					
I CONCENTRACION	MADERA	CARBON VEGETAL	ALITUSAS DE MAIZ					
IDE GAS (%)		! 						
 % CO 2 	 	 	 8,8 - 14,0 					
 % O 2	 1,0 - 5,6 	 0,6 - 4,0 	2,6 - 1,0 					
 % CO	5,9 - 16,0	12,3 - 18,4 	 7,3 - 19,2 					
 % H 2	8,7 - 25,2	6,5 - 18,7 	 7,3 - 28,7 					
	40,7 - 60,4	44,2 - 57,1	 37,6 - 58,9 					
Poder Calor1-	!		 					
fico MJ/Nm - 	2,3 - 5,0 	2,3 - 3,8 	1.7 - 2,7					
Ø 	0,29 - 0,73 	0,19 - 0,34	0,28 - 0,71 					

De los datos de referencia y los experimentales se queden ver diferencias en los porcentajes de los municipales que la componen el gas pobre las causas se dan por las siguientes razones.

poder calorífico del gas que se obtuvo de la gasificación con madera fue bajo y es de (2.31) MJ/Nn^3), comparado con la referencia de (5.0 - 5.9 $\mathrm{MJ/Nm^{s}}$). Esto se debe a la dificultad de controlar el caudal de aire que se suministra al gasificador y las reacciones que se producen al interior del gasificador no son lo suficiente como para producir un gas con mayor poder calorífico. Además las temperaturas en la zona reducción no producen las reacciones necesarias para obtener mayor cantidad de CO y de H₂ que una elementos determinantes en el poder calorífico del gas.

pesar de seguir un procedimiento en la experimentación se puede decir que en la gasificación de la materia prima no existen muchas variaciones ya que influye mucho en 1 aproducción del gas y la humedad del mismo. El gas que CC (C) obtuvo de la gasificación con carbón vegetal tiene un poder calorífico de (2.33 - 3.82 MJ/Nm³) comparado los datos referenciales que son $(4.50 - 5.60 \text{ MJ/Nm}^3)$ diferencia se 1 ea debe las siguientes razones:

La dificultad de operación con carbón vegetal fue mayor

debido al control del caudal de aire y la temperatura de la zona de reducción. El tipo de carbón vegetal utilizado en estas pruebas fue de buena resistencia a la combustión siendo necesario el suministro de un mayor caudal de aire como se lo ve en los datos del Apéndice B.

Se utilizó este tipo de carbón pensando obtener una buena calidad de gas combustible, pero se presentaron problemas en la combustión del carbón. El parámetro de la humedad en este caso fue del $(5-7\ \%)$ no tuvo muchas variaciones manteniéndose en un rango muy pequeño. Se obtuvo un mayor porcentaje de CO y una disminucion de H_2 de manera que el poder calorífico del gas fue inferior al gas con madera.

En la obtención de gas utilizando como combustible tusas de maiz, la calidad del mismo fue muy inferior a los demás teniendo un poder colorifico bajo de (1.94 - 2.76 MJ/Nm²) con 'estos datos se puede decir que el combustible no es apropiado para este tipo de gasificador, por presentar dificultades en el descenso del mismo al sufrir tapones en el plato garganta y la producción del gas no es continua.

Otra dificultad que se presentó fue el de la humedad que es diferente en cada tusa de manera que el gas que se obtiene presenta mayor porcentaje de vapor de agua. Ver

resultados en el Apéndice C. Con esta EDUNA PERA tabla prima que tener siempre presente la limpieza que no tenga tierra ya que ésta a temperaturas elevadas tiende a fundirse y ocasiona el taponeo del plato interrumpiéndose la producción de sucedió en nuestro caso. En las observaciones realizadas vió que este gas presentaba mayor cantidad particulas en suspensión a la salida del quemador y 1allama que se producía tenía una coloración amarilla, en los casos anteriores fue transparente.

ANALISIS DE LAS CURVAS CARACTERISTICAS DEL MOTOR

Sequidamente analizaremos la curvas obtenidas experimonpor los combustibles utilizados: gasolina y talmente pobre, cuyos gráficos se presentan en el capítulo No. curvas a velocidad variable. En los gráficos (5.1 - 5.2) representan las curvas resultantes del funcionamiento del motor con los dos tipos de combustibles empleados. Las curvas son máximas cuando la velocidad es de 2.600 RPM se encuentran a la inversa porque el motor se operó 3.400 y 2.400 RPM, la forma como se llevaron a cabo estas pruebas se explican én el capítulo No. 5, De estos que la potencia **es** máxima velocidad es de 2.600 RPM, teniendo descenso para mayor y menor velocidad. Del mismo gráfico se verifica rendimiento térmico máximo ocurre cuando la velocidad

de 2.600 RPM para los dos combustibles. La relación A/C aumenta al máximo cuando la velocidad es 2.700 RPM. El torque va en aumento desde las 3.400 RPM hasta cuando es máximo en las 2.500 RPM y después desciende.

En general las curvas para velocidad variable en los dos combustibles tienen un comportamiento aproximado en cuanto a las tendencias que presentan. Con respecto a la potencia, al realizar las comparaciones de las curvas se observa que la mayor potencia desarrollada se obtiene cuando el motor utiliza gasolina. Entre los dos combustibles se aprecia una disminución de la potencia en perjuicio del gas pobre, siendo en porcentaje el 40% con respecto a la gasolina de acuerdo al máximo valor de la potencia con las 2.000 RPM.

Análisis de las curvas a velocidad constante. 105 (5.3 - 5.4) se dan las curvas resultantes de1graficos La motor, los parámetros están dados función en apertura del acelerador para gasolina y la apertura de válvula de globo para gas, en porcentajes. Analizando las las potencias para los dos combustibles curvas utilizados se ve una clara divergencia, la curva para gasolina tiende a subir y la de gas desciende, la mayor potencia que se produce con gas es cuando la velocidad es de 2.500 RPM y con la apertura de la válvula al caída de potencia con velocidad constante Analizando la

entre los combustibles usados la apertura de la válvula al 75% corresponde al 22.57% en perjuicio del gas.

Con respecto a la eficiencia térmica, es máxima para el gas en el 75% de la apertura de la válvula y para gasolina con el 90% del carburador abierto. La relación A/C es máxima para las dos curvas en el 70% de apertura de los dos dispositivos empleados. El torque tiene un comportamiento similar al de la potencia, siendo máximo para gas cuando la válvula está abierta al 75%.

De los resultados de las tablas 5.2 y 5.4 se ve que el CEC del combustible utilizado depende en su mayor parte de la relación aire/combustible de la mezcla que está entrando al motor, siendo muy elevado para gas ya que la relación A/C está entre 0.66 - 0.76. Otra razón en la disminución de la potencia en perjuicio del gas es que la cantidad de combustible (en masa) que entra al cilindro es menor pero mayor su volumen, desplazando de esta manera la cantidad de aire necesario para la combustión.



CONCLUSIONES Y RECOMENDACIONES PARA GASIFICACION

La producción de gas pobre utilizando residuos agroforestales ofrece la posibilidad de generar energía mecánica
y eléctrica. Esta alternativa es propicia para el
desarrollo del país en áreas de dificil acceso.

La termogasificación debe considerarse como un todo y comprende la planta de gasificación, el sistema de enfriamiento y depuración, el elemento final que convierta la energia, sea éste un motor de combustión o un quemador.

Después de haber trabajado en la transformación de los residuos agroforestales en gas combustible se puede decír que no es muy difícil, requiriéndose principalmente de tiempo y paciencia para que esto ocurra, lo difícil es generarlo en un estado físico-químico apropiado para el funcionamiento de un motor durante un tiempo prolongado.

Según los resultados obtenidos se puede decir que la

operación del sistema de gasificación no fue opropiado, según se ve en los porcentajes de gases combustibles que se producen en cada un de los tres tipos de materia prima utilizada.

En la producción de gas con carbón vegetal se puede decir que la materia prima debe tener daracterísticas homogéneas, en dureza y en la cantidad de volátiles para que la combustión sea igual y pueda haber el descenco del combustible en el interior del gasificador.

En la obtención de gas con tusas de maíz se puede concluir lo siguiente: es un combustible que presenta diferentes zonas para la combustión, su superficie es de fácil combustión mientras que la siguiente zona es más difícil de combustionarse, esto se observó en los residuos gasificados. Además se debe tener mucho cuidado en la recolección de este combustible, de no introducir impurezas ya que éstas ocasionan muchas dificultodes en el proceso de gasificación.

En este trabajo se han realizado pruebas de garificación de madera, carbón vegetal y tusas de maiz y su aplicación a un motor de combustión interna, sería importante realizar en lo posterior pruebas con desechos agrículas: cáscara de café, cacao, cascarilla de arros, bagaso de cafía, aserrin, etc., disponibles en nuestro medio que

pueden ser empleados como combustibles. Para efecto de realizar estas pruebas se recomienda construir un equipo de gasificación de fácil manipulación que permita cambios en caso de que se requieran, un equipo que tonga un consumo de combustible no más de 2 Kg/hr y realizar los análisis con mucho cuidado.

Se recomienda que cuando se realicen estas pruebos se dé mucha importancia a la humedad del combustible, en lo posible que ésta sea constante y tener solamento una variable que sería el caudal de aire y poder hacer un control con mayor precisión.

Otro tipo de prueba que se recomienda replizar es manteniendo siempre constante el caudal de aire y teniondo como variable la humedad del combustible y verificar la mejor calidad de gas que se obtiene con cierto porcentaje de humedad.



CONCLUSIONES Y RECOMENDACIONES PARA EL MOTOR

Las pruebas fueron realizadas con la idea de utilizar gasolina y gas, razón por la cual las condiciones de operación del motor fueron iguales para los dos casos.

De las pruebas realizadas en el motor se puede docir que la pérdida de potencia utilizando gas pobre es inevitable, debido a la menor densidad energética de la mezcla. For esta razón se recomienda una sobrealimentación al motor para compensar esta deficiencia con un soplador adicional en la entrada de la cámara de combustión del motor.

Como resultado de estas pruebas se puede concluir en primer lugar que se ha demostrado que es factible la adaptación de un motor a gasolina, al uso de gas pobre con los inconvenientes propios encontrados a través del desarrollo de la presente tesis. Lo más importante consiste en que se ha mantenido la integridad del motor en cuanto a la alteración del mismo, lo que se ha hecho aquí

es utilizar un mezclador adaptado sobre el carburador y conectado a la cámara de combustión del motor.

Se recomienda optimizar el tipo de mezclador que se utilizó en estas pruebas para tener un mejor control de la mezcla combustible, esto se lo puede hacer colocando válvulas mariposas en la entrada de aire y gas, y vintual cularlas mecánicamente para que tengan aperturas iguales.

Otra recomendación es que se diseñe un sistema de filtros que atrape toda las cenizas y vapores no condensables para poder obtener un gas limpio, este puede ser realizado de la siguiente forma: primeramente hacer pasar el gas por un baño de agua, después por un filtro de aciete de manera que atrape los residuos de agua y de esta menera evitar el paso de residuos a la cámara de de combustión del motor, ver apéndice I.

Las pruebas que se efectúen en lo posterior deberían hacerse con un motor que tenga relación de compresión variable y poder determinar cual es la relación de compresión del motor que opera en mejores condiciones.

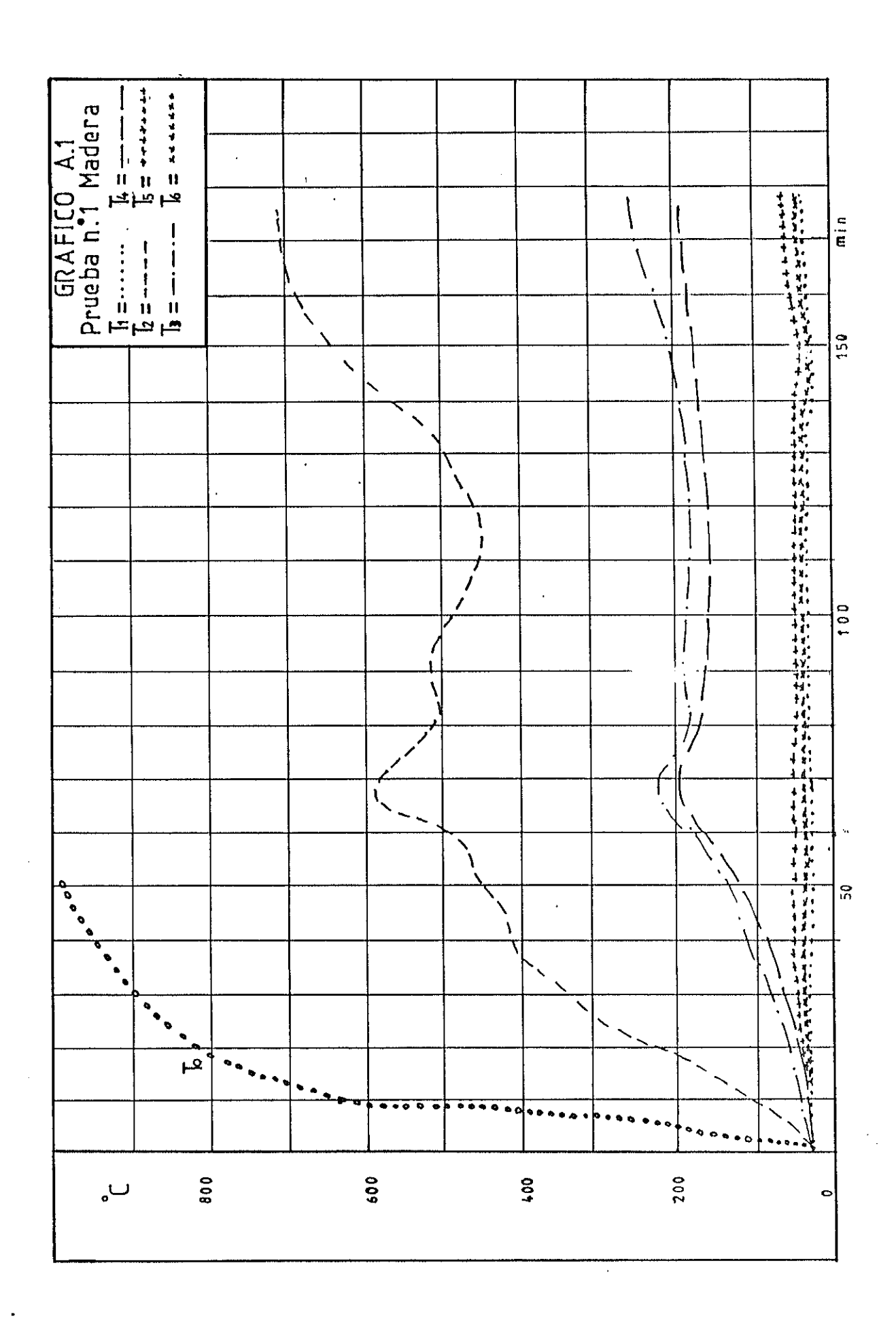
Se recomienda que las futuras pruebas se realicon en motores de dos o más cilindros ya que éstos prestan ma, un estabilidad en el funcionamiento y las interrupciones del mismo son menores.

APENDICE

1	мыничин лемми, ке пли	***************************************			ONLING STREET	WES
		j	PRUEBA		TABLA SASIF:	A 1 ICACION # 1
ļ	TIPO DE	E COMB:	MADEF	łΑ		% DE HUMEDAD: 14
	PESO (1)	VICIAL:	24,87	" Kgʻ		PESO FINAL: 1.5 Kg
	PESO DE	E CENIZA	49: O,	,32 Kç	J	PESO DE CONDENSADO: 4.0 Kg
	TEMP "At	4BIENTE	: 30	, C		PRESION ATM: 762,8 mm Hg
	PESO DE	E MADERA	A EN E	CL PLA	ATO GA	ARGANTA: 1.48 Kg
ļ	PESO DE	E CARBO	V EN L	.A PAF	RRILLA	A: 0,0 kg
		Aire Aire m /hr				OBSERVACIONES
i	0 -	1,79				Encendido
	10		1		!]	 Inicio de carga
	15	! 	1		 -	 Final de carga
:	37	 111,45	113,5	2,9	ነ] ፵ _• ላ	
	44	 111,45	1	 	[
	51	 13,60	1 1	 	! !	l gg gg Simin
	53	1 13,60	114,6	2,0	 12,2	
	70	[
1	90	1 5,37	 17,6 	1,4	1 10,0	 Muestra # 3
	i	I	t i		ł	1

i o -	1,79				 Encendido
10	 	! ; [! 	 Inicio de carga
15	! 	 	 	 	 Final de carga
37	 11,45	13,5	2,9	9,4	Muestra # 1
44 44	! 11,45				 Llama estable 2 min
51	113,60		 	 	i I gg gg 5 min 1
53 	113,60	14,6	2,0	12,2	 Muetra
, 70 	! 	i i i i			 Llama estable 10 min
90	5,37	 17,6	1,4	10,0	 Muestra # 3 -
92	5,37	! ! ! ! !		 	Llama estable 22 min
110	5,01	! ! [
120	, 5,19	 18,8	1,4	10,5	Muestra # 4
139	 19,33 	 	: i 		Llama estable 30 min
1.75	118,61	 	 	 	
Comsumo	o de cor	nbusti	ible:	8,56	Kg/hr i
Tiempo	de opei	-aciór	175	nin č	

lTiempo de producción de gas: 69 min



N. Sand

MINICIANA DE LA CONTRACTORIO DE		RUEBA		ABLA SASIFI	A 2 CACION # 2		
TIPO DE	COMB:	****************	*****		% DE HUMEDAD: 14		
PESO IN	VICIAL:	22,14	Kg	PESO FINAL: 5,02 Kg			
PESO DE	CENTZA	48:1,1	4 Kg′	 PESO DE CONDENSADO:3,4 Kg			
TEMP, AN	1BIENTE:	32 *	C		PRESION ATM: 762,4 mm Hg		
PESO DE	E MADERA	Y EN E	L PLA	YTO GF	ARGANTA: 1,45 Kg		
PESO DE	E CARBO	I EN L	A PAR	RILLA	4: 0,0 Kg		
	Aire m /hr		%0 2		OBSERVACIONES		
O					Encendido		
	 32,22				 Inicio de carga		
12	 32,22		•		 Final de carga		
ery ery all ell	 32,22	 11,0	5,6	16,4	l Muestra # 1		
28	 9,66 				 Regulación de flujo		
40	1 [6,80	i i] [1 1 99 99		
48	l 8,95			 			
65	: 12,53	! ! ! !		! 	} 99 59 99		
80	 17,90			! [
90	1 [17,90	1 13,2	2,8	1 8,0	! Muestra # 2 !		
95	l 111,91			! !	 Llama estable 45 min		
110	111,81	113,0	2,2	10,2	! Muestra # 3		
125	 11,81	1 13,0	2,2	1 10,2	 Muestra		
	111,85	 			! !Final de prueba		
	o de co	,	.ble:		Kg/br		
Tiempo	de ope	ración					
Tiempo	de pro	duccić	n de	gas:			

POLITECMICA DEL LITORAL BIBLIO EGA "GONZALO ZEVALLOS"
P. I. M. C. P. E 100 က္သ 200 005 ફુ

i

.

1

OFFICE STATES

	j::	TUEDA		ABLA BASIF I	CACION # 3			
TIPO DE	COMBat	IADERA	1		(% DE HUTEDAD; U			
PESO IN	IICIAL:			PESO FIMAL: 12,0 15				
PESO DE	CENIZA	19: 1:	o Kg		reso be compensado: 2,5 Kg			
TEM" "AF	DIENTE:	31,4	°C		PRESION ATM: 760,3 mm Mg			
					NRGANTA: 1,3 Kg			
PESO DE	: CARBON	I EN L	A PAF	RRILLA): 0,0 Kg			
	Aire m /hr				OBSERVACIONES I			
Ö	14,32		4. mephod 14 between 44.42.114.p.		Encendido			
<u>6</u>	14,32			 	 Inicio de carga			
10	14,32		 	! [: Final de carga :			
19	14,32	i i		! }	 Llama estable 2 min			
22	14,32	 13,8	2,0	 12,9	 Muestra # 1			
38	 19,69	! ! [! !	l -	: Llama estable 5 min			
46	l 11,45] 	 	! 	l ,, ,, 3 min			
50	1 11,45	1 14,5	 4,2	 5,6	 Muestra # 2 -			
56	l 10,74	[! !	<u> </u>	 Llama estable 3 min			
69	l l 10,74	[[[[{	1			
74	 15,74 	 15,8	1 1,6	1 9,8	1 Muestra # 3			
83	 11,09	l 	l -	[•	 Llama estable 5 min			
100	l 15,03	!	<u>.</u> •	! 	l I pp gg 4 min			
120	 14,32	 	! !	1	 Final de prueba 			
Comsum	o de co	mbust.	ible:	6,25	Kg/hr			
PRINCE DATE BUT AND A STREET			n: 12	······································				

			1	,			\ \ \ \ \ \ \ \ \ \ \ \ \ \ \ \ \ \ \	
			,			1		\ \ \ \ \ \ \ \ \ \ \ \ \ \ \ \ \ \ \
							j	1 X
						,		\ \ \ \ \ \ \ \ \ \ \ \ \ \ \ \ \ \ \
					/	1	\\ <u></u>	+ X .
					· <u> </u>	ì		
					, ,			1 4 4 4 4 4 4 4 4 4 4 4 4 4 4 4 4 4 4 4
					, , ,			+ X + X
<u> </u>					11			
	<u> </u>	<u> </u>			<i> j</i> 			1
	GRAFICO A.3 Prueba n.3 Madera Ti=							
	100 A. 3 Ma 4 E.	- 1-2 - 1-1 - 11						
	3 dera	# # # # # # # # # # # # # # # # # # #					:	-

	 :::	'RUEBA		ABLA ASIFI	CACION # 4				
TIFO DE	: сомв:	MADER	Α,		% DE HUMEDAD: 11,8				
PESO TOTAL : 18.6 Kg					PESO FINAL: 1,73 Kg				
PESO DE	E CENIZA	\S: O,	21 Kg	PESO DE CONDENSADO: 2,6 Kg					
TEMP.A	BIENTE:	33 °	C		[PRESION ATM:762,8 mm Hg				
PESO DE	E MADERA) EN E	L FLA	TO GA	ARBANTA: 1,5 Kg				
PESO DE	E CARBON	I EN L	A PAF	(RILLA	4: 2,5 Kg				
Tiempo Aire %CO %O %CO OBSERVACIONES min m /hr 2 2									
Ü	135,80				 Encendido				
5	1 128,64	()	! !		 Inicio de carga (10,0 Kg) 				
8	1 128,64	}		i i	 Final de carga				
10	128,64	! !			 Llama estable 77 min				
18	117,90	 11,8	3,2	, 9,0 	 Muestra # 1 				
42	117,90	112,4	3,0	1 16,0	 Muestra				
82	114,32	9,6	2,9	, 12,8	 Muestra # 3				
87	1		1 	₹ } •	 Nueva carga (8,6 Kg) 				
102		! 	! 	! {	Final de carga				
102	1	 	! 	1 	Llama estable 80 min				
1 172	114,32	10:4	, 13,2	, 13,8	Muestra # 4				
1 182	114,32	1	t 	[]	Final de prueba				
! 		1	1 	! 	! !				
! !	! 		! 						
Comsum	o de Co	mbust	ible:	6,98	Kg/hr				
Tiempo	de Ope	ració	n: 18	2 min					
Tiempo	de pro	ducci	ón de	gas:	157 min				

,

	io ‡ ‡			<u>.</u>		
	0 A.4 4 Madera Te=				, 1	Ē
	4 4 4 4 4 4 4 4 4 4 4 4 4 4 4 4 4 4 4			1-5-		150
	GRAFICO Prueba n. 4 T= T T2 = F T3 = T			!/ ! ゔ	1	1×.
	Prue 1 1 = :: 1 1 = :: 1		100			17: 52 17: 52
		, (,	7	<u> </u>		4 K
			ر از		}	X X
		<u> </u>	/ </td <td></td> <td></td> <td>*X** *X* *X*</td>			*X** *X* *X*
·						100 100 100 100 100 100 100 100 100 100
			ς:,	7	<u> </u>	1x; 41; 4x;
						†y; ;; ; ; ; ; ; ; ; ; ; ; ; ; ; ; ; ; ;
						14. +4.
						14: 44: 44:
						11. 35
						1
				<u> </u>	1	**************************************
	و ن	•	9			7.
	. 008 U 008	009	004			0
	<u> </u>			, '		l
• •						

TOLISTICA GONZALO ZEWILEGE POLISTICA GONZALO ZEWILEGE

110 HALLANDERT IN 110 PAPE (\$1 111 1 1 1 1 1 1 1 1 1 1 1 1 1 1 1 1	***************************************	162+2341822222277******************************		ABLA	A 5 FELLOTECE GO				
pt == 0.000 to produce process (copy process (cy product to produce to produc		RUEBA			CACION # 5				
TIPO DE	COMB:	MADER	А		1% DE HUMEDAD: 12				
PESO TO	TAL: 2	28,69	Kg		PESO FINAL: 2,8 Kg				
PESO DE	CENIZA	\S: 0 ;	66 Kg	PESO DE CONDENSADO: 3,6 Kg					
TEMP . At	BIENTE:	31 °	C	PRESION ATM:762,6 mm Hg					
PESO DE	E MADERA) EN E	L FLA	TO GA	ARGANTA: 0,7 Kg				
PESO DE	: CARBO	V EN L	A PAF	RILLA	A: 1,25 Kg				
•	Aire m /hr	%CO 2			OBSERVACIONES 				
Ç)	10,32		 		Encendido				
5	 	! ! ! !	, !		 Inicio de carga (13,9 Kg)				
10	 10,74		† -		 Final de carga				
13	 				 Llama estable 55 min				
25	 13,60	 16,2	2,6	l 1 7,0	! Muestra # 1				
55	 14,32	111,8	3,2	1 [9,0	 Muestra # 2				
80	 13,60		 	! !	 Nueva carga (14,8 Kg) 				
90	 13,60]		! !	Final de carga				
95	! !	1 1	! 	[Llama estable 100 min				
100	 13,60	112,4	 3,0	 16,0	 Muestra # 3				
125	 13,60	9,4	 2,9	 12,8	Muestra # 4				
150	113,60	110,4	 3,1	 13,8	 Muestra # 5				
185	1	!	l !	!	 Llama amarilla				
l l 195	113,60		<u> </u>	1	 Final de prueba				
 Comsum	o de Cc	mbust.	ible:	8,34	kg/hr				
 Tiempo	de Ope	eració	n: 19	5 min					
 Tiempo	de pro	oducci	ón de	gası	155 min				

GRAFICO A.5 Prue ba n.5 Madera T= Te=++++++++++++++++++++++++++++++++++++				150 MIN
				1000
				1 1 1 1 1 1 1 1 1 1 1 1 1 1 1 1 1 1 1
,	009	00%	700	0

...

:

.

٠.

	***************************************			****************************				
 	l::	RUEBA		ABLA ASIFI	A 6 CACION # 6			
TIPO DE	COMB:	MADER	A	!	X DE HUMEDAD: 21			
PESO TO)TAL: 27	'.O Kg			PESO FINAL: 2,7 Kg			
IPESO DE	: CENIZA	18: O,			PESO DE CONDENSADO: 5,35 Kg			
TEMP.AM	BIENTE:	. 29 °	C		PRESION ATM: 762,4 mm Hg			
IPESO DE MADERA EN EL PLATO GARGANTA: 0,8 Kg								
PESO DE CARBON EN LA PARRILLA: 1,25 Kg								
Tiempo Aire %CO %O %CO OBSERVACIONES min m /hr 2 2								
0	14,32				Encendido			
1 10		. ! !		<u> </u>	 Inicio de carga (14,5 Kg)			
1 13	 	 			 Final de carga 			
1 14	112,17]		! !	 Llama estable 8 min			
1 22	 13,60	116,0	1,8	 7,8	 Muestra # 1			
34	115,75		: 	! !	 Llama estable 26 min			
39	115,75	 17,4	2,0	1 9,2	 Muestra # 2 			
75	! !	! ! [Nueva carga (12,5 Kg)			
85	1]	<u> </u>	t 	 Final de carga 			
90	135,80	 10,3	2,5	1 8,4 	lMuestra # 3			
90	! !	! ! !		! 	Llama estable 90 min			
130	135,80	 16,0	1,0	1 9,2	1 Muestra 非 4 			
1 155	 14,32	116,0	1 1,4	 8,6	 Muestra # 5			
180	113,60	 	 	1 	 Final de prueba			
Comsum	o de Co	mbust:	ible:	8,6	Kg/hr			
Tiempo	de Ope	ració	n: 18	O min	NUMBER			
Tiempo	de pro	duccid	5n de	gas:	124 min			

,

				POLITE BIBLIOTEC:	CSICA DEL LITORAL GONZALO ZEVALLOS
A.6 Madera Tk = Ts =				¥.,	·M.D.D. D. LEANTIOS.
GRAFICO A.6 Prueba n.6 Madera Ti= Ti=					
1.6 1ad					.Ē
2 7 7 7 1 2 1 2 1 2 1 2 1 2 1 2 1 2 1 2	- Landerson				
9: !]					<u> </u>
A P I		\ \ \ \ \ \ \ \ \ \ \ \ \ \ \ \ \ \ \ \			1 + 1
e b		١, ٢, ١			†** ***
Pru Ta = Ta = Ta =		, , /			13. C.
		1 1			1 2 3
		1, 1			(秋)
					1
					+1
					1
		1.5			11. 2
					
			· +/	,	·····································
			()		14 14 14 14 14 14 14 14 14 14 14 14 14 1
			 		
			, \		
			'\ \		1‡{
					95
			\		
					1.16
				\\\\\\\\\\\\\\\\\\\\\\\\\\\\\\\\\\\\\\	_ ;
				1	1
			·		
		<u> I </u>			*
, U 80	00	8	Ċ	7	6
		,			
	1				

ye²

	mes managis AllaHOIODe		, T	ABLA	A 7	. (F. K.,,(150)=1)(C+PKF-C	M.AL	rendi kiran () kiran agi () kira i			
RESU	REBÙLTADOS DE LAS PRUEBAS DE GASIFICACION CON MADERA										
Tiem 	 Aire 	 Poder 	ф I I	CO 2	CO	0 I 2 I	1 1 N 1 S	H 2	H 0 H 2		
lpo [[(min)	1	Calor MJ/Nm	 	! !	 	<u> </u>	! !	!			
\		<u> </u>		.,,,,			anger opening and	According to the state of the s			
		/	- FF	WEBA #	1.				re - a as as redeme.		
] 37	1 11,4	 3,08	· 0,471	13,5	. 9,4	2,7 (51,6	 17,6	 5,0 		
53	13,6	4,05 4,05	0,35	14,6	12,2	2,0	45,7	23,4 	 2,2 		
90	5,3] 3,97 	0,34	17,0	10,0	1,4	44,7		, 1,2 		
120	5,2	4,02 	0,29	18,8 	10,4	1,4	40,7	25,0	[T ₅ C)		
	daeana-moname	d 1,1,1,1,1,1,1,1,1,1,1,1,1,1,1,1,1,1,1,	F.F.	RUEBA #	- 2	in the raid tell foreign	er ing in in india.				
22	132,2	1 2,971	0,73	11,01	6,4	5,6	60,2	1 0,7	17 , 7 17 , 7		
90	1 17,9	1 2,391	0,54	13,2	8,0	1 2,8 	 55,2 	1 12,7	17,5		
110	111,8	 3,11	0,46	13,0	10,2	, 3,0 ,	, [51,2 !	17,2	5,1		
125	11,8	3,07	0,46	13,0	10,2	1 2.2 	1 52,0 	: 16,6 	 5,8 		
				 	Lakenanisis		<u> </u> 	<u> </u>	.l.,		
	207 ge 2007 20 00 12 12 12 12 12 12 12 12 12 12 12 12 12		p;	RUEBA #	+ 3	7	ga	nf - zeten arateanamana			
 32 	 14,3	 4,17	 0,36 	 13,8	 12,9 	2,0 	i 45,2 	1 23,6 	 2,0 		
i 50 	1 11,4	1 2,31 	l 0,58 	l 14,5 	l 5,6 l	1 1 4 ₈ 4 1	 55,7 	1 1 11,9 1	1 1/1 ₉ /1		
1 1 74 1	 10,7 	 3,61 	 0,38 	 15,8 	 9,8 	1 1 1,6 1	[47,0 [47,0	1 223,0	 2,7 		
1	!	1	<u> </u>	1	 		<u> </u>	1			

TABLA A 8											
RESULTADOS DE LAS PRUEBAS DE GASIFICACION CON MADERA											
 Tiem-		 Poder 	1	CO 2	CO (0 2	N	H 2	2 H 0 		
1	1 !	Calor 	!	! !		! !	!		! ! ! !		
(min)	l/	I mVI V GMI				«	1-1417-141-1419) (),-1 ₁)		L		
 	, PRUEBA # 4										
 18	 17,9	2,32	0,561	11,8	9,01	3,2	56 ₉ 0	11,0	8,71		
42	17,9	4,90 	0,30 108,0	12,4	16,4	3,0	41,0	27,0	: 1 ₂ 1 !		
82 	14,3 	2,86 	0,49	9,6	12,8	2,7	52,8	11,6	 ?,0		
172	14,3 	3,26 	O,46	10,41	13,8	I, 1	51,3	1 11,6 1	[7,6]		
				RUEBA #	. 5	**************************************	k. .		' ! !		
25	13,6	2,75	0,47	16,2	7,0	2,6	51,0	17,2	: 3,1		
65	14,3	! 2,36	0,57	11,8	9,0	 3,2	 55,6	 11,3	 12		
100	: 13,6	4,97	0,31	12,4	16,0	 3,0 	1 41,1	1 1 27,1	1 [6,2]		
1 125	1 13,6	 2,72	0,43	 9,4	12,8	l 2,9	! ! 54,7	! 9,5	 <u>11 </u>		
1 150	l 13,6) 3,54	0,43	10,4[13,8	! [3,1 L	 49 ₉ 1	: 14,8 	f δηδ] π		
<u> </u>			PF	RUEBA ‡	‡ 6						
22	1 13,6	1, 2,28	0,45	16,0	7,8	1,8	 51,t	1 10,6	14,5		
l 39	 15,7	 3,86	0,35	 17,8	 0,2	 2,0	 45,1	 25,1	10,5		
90	l ! 35,8	1 1,47	 0,67	 10,3	 8,5	 1,0	 60,4	! 13,7	14 g 4 .		
130	 35,0	l 3,59	 0,40	 16,0	 9,2	 1,0	 47,5	 22.46	11,4		
 155 	 13,6 	 3,30 	 0,42 	 16,0 	1 8,6 	 1,4 	l 49,8 !	l 20,6 	1 3,5 		

	1	PRUEBA			B 1 ICACION # 7		
TIPO DE COMB: CARBON VEGETALIX DE HUMEDAD: 4,85							
PESO T	OTAL: 1	7,2 Kg	3	1-0-1-0-0-0-0-0-0-0-0-0-0-0-0-0-0-0-0-0	IPESO FINAL: 4,6 Kg		
PESO D	E CENIZ	98: 1,	,58 K	3	IPESO DE CONDENSADO: 0,30 Kg		
TEMP.A	MBIENTE	: 30 °	, C		PRESION ATM: 762,8 mm Hg		
PESO D	E CARBOI	V EN E	EL PLA	ATO G	ARGANTA: 0,80 Kg		
PESO D	E CARBOI	M EN L	A PAI	RRILL	A: 2.0 Kg		
	Aire M /hr				OBSERVACIONES 		
O	132,22		14-000 order (1800) i manga ya ya ma		Encendido		
5	132,22	! ! ! !		 	 Inicio de carga (10,54 kg) -		
10		!		 	 Final de carga		
12	 32,22	! ! ! !			 Llama estable 28 min		
25	132,22	7,0 7,0	4,0	114,0	 Muestra # 1		
45	132,22			<u> </u>	l Nueva carga (6,66 Kg)		
53	1	! 'I 			! Final de carga !		
70	1 			i 	 Llama estable 135 min		
78	130,43	7,8	1,0	17,9	 Muestra # 2 		
95	 30,43	8,0 8,0	1,0	18,4	 Muestra # 3 		
107	1 28,64	8,4 8,4	1,0	18,4	 Muestra # 4 		
135	 28,64	8,0 8,0	0,6	17,8	 Muestra # 5 		
165	 28,64	:			! !		
205	128,64	 			 Final de prueba 		
Comsumo de Combustible: 3,92 Kg/hr							
Tiempo	de Oper	ración	: 205	5 min	жения общения на при на пр		
Tiempo	de proc	lucció	n de	gas:	163 min		

		i.		5P.04
GRAFICO B.1 Prue ba n.1 Carbón Vegetal Ti =			POLITE HIRLIOTECH F. 1	Fra Caronal Inca Davisonoral Inca Davisonoral
GRAFICO ba n.1 Car				14. 14. 14. 14. 14. 14. 14. 14. 14. 14.
P 11 12 12 12 13 13 13 13 13 13 13 13 13 13 13 13 13	i			150
	i	\		
				100
				1 2 2 2 2 2 2 2 2 2 2 2 2 2 2 2 2 2 2 2
				\\\\\\\\\\\\\\\\\\\\\\\\\\\\\\\\\\\\\\
			5)	
° 0	009	007	200	0

•

.

	TABLA B 2 PRUEBĄ DE GASIFICACION # 8									
TIPO DE	E COMB;	CARBO	ON VE	BETAL	DE HUMEDAD: 6,5					
IPESO TO	OTAL: 18	3,8 Kg]	F1884 A 1666 67 ve thad eyned brog m						
IPESO DE	E CENIZA	15: O,	.60 Kg	3	PESO DE CONDENSADO: 2,05 Kg					
ITEMP.A	BIENTE	a sand sand	, C	***************************************	PRESION ATM: 762,6 mm Hg					
IPESO DE	E CARBOI	I EN E	EL PLA	ATO GA	ARGANTA: 0,0 Kg					
PESO DE	E CARBO	I EN L	_A PAF	RRILL	A: 3,8 Kg					
	Aire m /hr				OBSERVACIONES					
Ö	 36,54 				Encendido					
5	, 35,80	 			Inicio de carga (10,0 Kg)					
10	! 		 		 Final de carga					
	35,80	:	 	 	 Llama estable 4 min					
1 15	 32,22	 	:	 						
22	32,22		 		Llama estable 20 min					
43			 		 Nueva carga (8,8 Kg)					
45	 		1 		Final de carga					
46	32,22		' 		 Llama estable 74 min					
55	32,22	9,5	1,1	18,4	 Muestra # 1					
90	 28,64	7,8	1,2	18,0	Muestra # 2					
1 120	 	 :	! !		Final de pruebas					
]	; 	ו ! !	1 1		 					
Comsumo	Comsumo de Combustible: 7,79 Kg/hr									
Tiempo	Tiempo de Operación: 120 min									
Tiempo	de proc	luccić	n de	gas:	98 min					

15c min 100 υ Ο ں 909 007 200 0

....

.

النز ا

TABLA B 3

POLITECNICA DEL LITORAL
SEBLIOTECA "GONZALO ZEVALLOS"
F. J. M. C. P. PRUEBA DE GASIFICACION # 9 ITIPO DE COMB: CARBON VEGETALIX DE HUMEDAD: 7,2 IPESO TOTAL: 14,0 Kg IPESO FINAL: 3,4 Kg IPESO DE CENIZAS: 0,75 Kg IPESO DE CONDENSADO: 1,6 Kg ITEMP.AMBIENTE: 30 °C IPRESION ATM: 762,2 mm Hg IPESO DE CARBON EN EL PLATO GARGANTA: 0,0 Kg IPESO DE CARBON EN LA PARRILLA: 3,8 Kg |Tiempo| Aire |%CO | %O |%CO | OBSERVACIONES 1 min | m /hr | 2| 21 0 | 28,64 | |Encendido 6 | 28,64 | 11 | Inicio de carga (10,0 kg) 10 [|Final de carga 12 | 28,64 | ILlama estable 58 min 20 |35,80 | 8,0| 3,5|12,3|Muestra # 1 35 | 32,22 | 50 |32,22 55 |32,22 | 8,0| 2,0|14,0|Muestra # 2 66 1 lNueva carga (4 kg) 76 1 |Final de carga 80 | 32,22 | |Llama estable 30 110 [25,06] 120 | 28,64 | lFinal de prueba |Comsumo de Combustible: 7,53 Kg/hr

|Tiempo de Operación: 120 min

(Tiempo de producción de gas: 88 min

egefal	+ + + + + + + + + + + + + + + + + + +				
Prue ba n.3 Carbon Vegetal	1 1 9 1 1 1 1 1 1 1 1 1 1 1 1 1 1 1 1 1				
RAFIC n.3 Ca					
Girueba				·	
<u>a</u> . F-1	4				1 + 5 7
		!			+ A : + A : + A :
		- {			
		\			+ 4; + 4; + 3; + 4; + 4;
					1 + 2
		,			1 1 1 1 1 1 1 1 1 1 1 1 1 1 1 1 1 1 1 1
	i	, j			
		\			
		1			1 4 7
					+1
			````		4 4 4 4 4 4 4 4 4 4 4 4 4 4 4 4 4 4 4
				7.5	The state of the s
<b>ں</b> ا	009		007	200	0

**

i

.

l     RES	ULTADO:	3 DE L	as Pru	TABLA EBAS D	•	FICACI	ON COM	C.VEG	ETAL
	  - Aire 	Ì	ì	   CO   2	1 00	10	     N	 	1
bo	lm∕hr I	Calor	-			1 4	1 m		1
(min	)	nM\UM	1					 	1
Minimum, 14000 co., p. (1522) 2 2 2 2 2	444		l::	RUEBA	# 1	-(106. m ¹ -2266 - proj-21 <i>520</i> 496 gg	mer Anno 11 mm no 11 m	o action construction	
25	1 32,2	1 2,63	0,32	7,0	)  14,0	0  4,0	1 55,4	T 8,0	111
78	30,4	3,56	   0,22	1 7,8	  }  17,4	/ 7/ 1,0	!	1	١.
95	30,4	3,50	0,23	   8,0	    17,5	 	1	1	1
107	1 28,6	3,82	0,22	   8,4	   18,4	l H 1,0	1	1	
135	28,6	l 3,34	1 0,22	! ! 8,0	   17,8	1 11 0,6	İ	1	
			,F°4	RUEBA	# 2	L		. han ()	
1	1	<u> </u>			1		***************************************	Townstein and the state of the	olesan e aguage y
55	   32,2  	4,33	   0,19  	9,5	18,4 	1 1,1	44,1	 	8,1
90 !	   28,6  	4,20  	0,20    	7 _, 8	18,0 	   1,2 	1 1 45,0	 	8,2
!	1		1	! 1		 	1		
		-	FR	UEBA N	1 3		r 	t to the second of the second of	: 
!	· j								· · · · · · · ·
20   	35,8	2,23	0,34	9,5	12,3	3,5	   57,1	6,41	1 1
55   	32,2  	2,45	0,30	   	14,01	2,0   2,0	55,2(	6,5 :	1 1 14
1	1	1	i i	,   	 		-		1
		i	į	1	1	l i	! !	!	!



NECLOSED CHARACTE
TABLA C 1 KI.M.C.)  PRUEBA DE GASIFICACION # 10
TIPO DE COMB: TUSAS DE MAIZ  % DE HUMEDAD: 12,13
IPEGO FINGLE Against
PESO TOTAL: 19,5 Kg   PESO DE CONDENSADO: 1,17 Kg
PESO DE CENIZAS: VICTOR ATM: 762,4 mm Hg
TEMP.AMBIENTE: 27 °C   [PRESIDING HITTER]
PESO DE CARBON EN LL , ETT.
PESO DE CARBON EN LA FARRILLA: 1,0 Kg
Tiempo  Aire  %CO   %O  %CO   OBSERVACIONES
Encendido
3 112,53   Inicio de carga (10,3 Kg)
Final de carga
Llama estable 45 min
32  18,97  14,0  3,2  7,3 Muestra # 1
40 125,06
52  21,48  12,8  3,2  9,3 Muestra # 2
Nueva carga (9,17 Kg)
57
67
// 117,07
97  21,48     102  17,54  10,0  4,0  9,2 Muestra # 4
irinal de neueba por comb.
the day of the second of the s
Comsumo de Combustible: 7,85 kg/hr
Tiempo de Operación: 120 min
Tiempo de producción de gas: 85 min

	,		<u> </u>			Ë	
GRAFICO C.1   Prueba n'ITusas de Maiz   Ti					7		50
							5.0
		1					
, , ,	. 009		Š	900			

~

	,,,,,,,,,,,,,,,,,,,,,,,,,,,,,,,,,,,,,,,			ABLA	F 5			
PRUEBA DE GASIFICACION # 11								
TIPO DE COMB: TUSAS DE MAIZ  % DE HUMEDAD: 15,4								
PESO IN	ICIAL:	11,24	Kg	] 	PESO FINAL: 0,72 Kg			
PESO DE	CENIZA	18: O,	87 Kg	 	PESO DE CONDEMSADO: 2,69 Kg			
TEMP.AM	BIENTE	32 0	С		PRESION ATM: 762,5 mm Hg			
PESO DE	CARBON	I EN E			ARGANTA: 0,81 Kg			
			A PAF	RILLA	9: 1,1 Kg			
Tiempo!	Aire    m /hr	%co i	%0   2	исо	OBSERVACIONES			
Ċ)	132,22				Encendido			
4	 				l  Inicio de carga			
7	l 	[ [	:	 	  Final de carga			
10	l 135,80		,	[ [	  Llama estable 37 min			
14	  32,22	[ [	I	! !	  Llama anaranjada			
27	l 132,22	  11,2	   2,6	  19,2	  Muestra # 1			
42	  32,22	1 8,8	l   3,0	1  17,6				
4.7	<u> </u>	1	 	[ _				
   60 	  32,22 	1	    -	[ [ ]	Final de prueba (por tapo     Ineo en el plato garganta)			
 	1	!	] !	1	1			
<b>l</b> 1			1	1				
! !	1	1	1	1				
	<u>{</u>	1	 	1	1			
Comsumo de Combustible: 11,24 Kg/hr								
Tiempo	Tiempo de Operación: 60 min							
		1147- (4. Ph. 11-1147)	.,		: 37 min			

[	d specification of the state of the specification of the same of t	D ^a ladanya pi pilida <b>ma</b> ndar iyo bobda la		***************************************	
	**************************************		·····	GASIF	FICACION # 10
TIFO	DE COMB	: TUSA	S DE	MAIZ	1% DE HUMEDAD: 12,13
FESO	TOTAL:	19,5 K	g	******************************	FESO FINAL: 4,8 Kg
IPESO I	DE CENIZ	ZAS: O	,8 Kg		IPESO DE CONDENSADO: 1,19 Kg
ITEMP.A	AMBIENTE	: 27	°C		IPRESION ATM: 762,4 mm Hg
PESO I	DE CARBO	N EN	EL PL	ATO G	ARGANTA: 1,0 Kg
FESO I	E CARBO	N EN	LA FA	RRILL	A: 1,0 Kg
Tiempo min	Aire Im /hr	%CO   2	%0   2	%CO	OBSERVACIONES
0	135,80 1			1	Encendido
3	j12,53		! ! ,	1	  Inicio de carga (10,3 Kg)
5			!	! !	  Final de carga
7	119,69	1		i 	  Llama estable 45 min
II A	118,97	14,0	3,2	1 1 7,3	  Muestra # 1
40	25,06	[			
52	121,48	112,8	3,2	9,3	  Muestra # 2
57	1	! ! ! !	. !		  Nueva carga (9,17 Kg)
67	: 	] 	. !		  Final de carga
77	119,69	! ! 	1	!	Llama estable 40 min
82	  19,69	10,0	3,2	12,0	Muestra # 3
97	21,48		!	1	
102	17,54	10,0	4,0	9,21	Muestra # 4
120	17,90	!		1	Final de prueba por comb.
Comsumo	o de Com	busti	ble:		To the contract about the contract to the cont
Tiempo	de Oper	ación	: 120	min	The state of the s
Tiempo	de prod	ucció	n de (	gas:	85 min

GRAFICO C.1 Prueba n.1Tusas de Maíz Tr=		
Sas de		
GRAF a n.1Tu:		
Prue by Training Trai		) !si
		1
		\\\\\\\\\\\\\\\\\\\\\\\\\\\\\\\\\\\\\\
		/ + 1 / 1 / 1 / 1 / 1 / 1 / 1 / 1 / 1 /
		\
	, ,	

i

		FRUE	3A DE	TABL GASI	A C 2 FICACION # 11
TIPO	DE COME	: TUSA	AS DE	MAIZ	1% DE HUMEDAD: 15,4
PESO	INICIAL	: 11,2	!4 Kg	***************************************	IPESO FINAL: 0,72 Kg
PESO	DE CENI	ZAS: 0			IPESO DE CONDENSADO: 3 (O K
TEMP.	AMBIENT	C: 32	°C	1 decision ( ) who prij + d women ( ) pri es	PRESION ATM: 762,5 mm Hg
PESO )	DE CARBO	DN EN	EL FL	ATO (	GARGANTA: 0,81 Kg
FESO J	DE CARBO	ON EN	LA PA	RRILL	A: 1,1 Kg
Tiempo	4	1%00	1 20	r I%CO	OBSERVACIONES
	132,22			***************************************	
7		! ! ! !	! ' !	<b> </b>	
10,	  35,80 	 	,		Llama estable 37 min
14	132,22				:  Llama anaranjada
27	132,22 1	111,2	2,6		  Muestra # 1
42	•	, ,			  Muestra # 2
47		!!!			  Final de llama
60   	32,22		[   	<u> </u>	Final de prueba (por tapo neo en el plato garganta)
!	.    -  -	1	.	! !	
! ! !	   	 		1	
	de Com				Kg/hr
	de Oper				The second secon
empo d	de prod	ucción	de a	mes "	

PARK.

	O C.2 as de Maíz	,		
	GRAFIC aban 2 Tusa 			
	Pruc 17 - 12 - 12 - 13 - 13 - 13 - 13 - 13 - 13			000
				+ x - + x - + x - + x - + x - + x - + x - + x - + x - + x - + x - + x - + x - + x - + x - + x - + x - + x - + x - + x - + x - + x - + x - + x - + x - + x - + x - + x - + x - + x - + x - + x - + x - + x - + x - + x - + x - + x - + x - + x - + x - + x - + x - + x - + x - + x - + x - + x - + x - + x - + x - + x - x -
				1
				1
				X
009 009 000 000 000 000 000 000 000 000	, 00°	004	200	1

***** 

;

!



posicistant (terme factor) of -2005 flo	1530-534 PROEET CONTROL CONTROL PROEET CONTROL PROEET CONTROL PROEET CONTROL PROEET CONTROL PROEET CONTROL PRO	ngaran palabat dag pagnapahan banasang pagnan laul beng	Ti	ABLA (	ma riger List said	and the second s		BIBLIOTECA T P. Y.	GNZALO M.C.P
RESL	JLTADOS	DE LA	B PRUE	BAS DE	GASIF	ICACIO	A CON	r. MAI	Z . j
Tiem-	  Aire	Poder I	ä l	CO     2	CO 1	0 1 2 1	N I	H 1 2 1	1 10 H 1 2
po (min)		Calori I MJ/Nm1	 	   	<u> </u>	,	\   	 	1
	L		PF	:UEBA ‡	; J.			Control of the Contro	
32	     18,9	1 1 1 1 1 1 1 1 1 1 1 1 1 1 1 1 1 1 1	0,58	14,0	7,3	3,2	54,5 l	   14 _# 6  	5,8
52	1 21,5	   2,39	0,61	12,8	   9,0	1   3,2 	55,6	11,7	8,3 
l   82	1 19,7	1 1 2,76	0,56	   10,0	112,0	3,2	   53,9 	11.3.5 1	9,3 [
   102 	1 17,4	1 1,94	   0,71 	   10,0 	1 1 9,2 1	1 {	1   58 ₁ 8 	7,3 	10 
FRUEBA # 2									
	32,2	 	     0,40	1 11,2	 	i 1 1 2,6	1 1 137,6	1 27,0	    5,0
 	) 	.  	   0,50 	 	  3  10,2 	1 21 3,0	146,0	1 25,7	   6,2  -
   	1 1	1	1	1	<u> </u>	 			

#### APENDICE D

## CALCULO PARA LA DENSIDAD Y EL PODER CALORIFICO DEL GAS

Para realizar el cálculo del poder calorífico / la densidad del gas pobre, se recurre a métodos conocidos que se encuentran en la (Referencia 6), conociondo los porcentajes de los componentes del gas, datos de las pruebas experimentales de CO2, O2, y CO. A continuacion se realizan los cálculos para determinar los porcentajes de H2, N2, H2O, esta forma de calculos son aplicables para el gas que se obtiene de combustibles lignocelulósicos madera, carbón vegetal y tusas de maíz.

## COMPOSICION DEL GAS OBTENIDO DE MADERA

$$\%$$
  $CO_2 = 13,5$ 

Composición de la madera tomado de la (Referencia 6)

$2$
 C = 42.9 . /

Fórmula quimica para este tipo de madera en base al dato

anterior.





Ecuación de la combustión

Cs.16 H₁₀ O_{4.5} + a(O₂ + 3.76N₂)  
==> 
$$dH_2 + eO_2 + fH_2O + 3.76 * aN_2$$

Ecuaciones de concentración molar de los gasas  $CO_{2}$ ,  $O_{2}$  y  $CO_{3}$  NT = Numero'total de moles.

$$(CO_2) = \frac{b}{NT} = 0.135$$

$$(O_2) = \frac{e}{NT} = 0.029$$

Cálculo aritmético.

De la ecuación de la combustión tenemos:

$$2d + 2f = 10$$
 ==>  $d + f = 5$ 

$$NT = b + c + e + (d + f) + 3,76 * a == a = 3,11$$

$$4.5 + 2a = 2b + c + 2e + f ==> f = 1.19$$

$$d = 5 - f => d = 3.99$$

Ecuaciones de concentración molar H2, N2, H20.

$$(H_{2}) = \frac{d}{-1} = \frac{3,99}{-1} = H_{2} = 0,176$$
NT 22,55

$$(N_2) = \frac{3,76 * a}{NT} = \frac{3,76*3,11}{NT} = \frac{N_2}{22,55} = 0,516$$

$$f$$
 1,19  
 $(H_{2}O) = --- = ---$  ==>  $H_{2}O = 0.050$   
NT 22.55

Las concentraciones en volumen de los gases de salida son:

100,0

Concentración de gas (%)	Densidad (Kg/m³)
CO ₂ = 13,5	0,135 * 1,977 = 0,266
$0_2 = 2,9$	0,029 * 1,429 = 0,041
CO = 9,4	0,094 * 1,250 = 0,117
$H_{2} = 17,60$	0,176 * 0,090 = 0,015
$N_2 = 51,60$	0,516 * 1,251 = 0,648
	Total = 1,087

# Foder Calorifico (MJ/Nors) \$9.

CO = 9,4		0,094	求	12,644	 1,188
H ₂ = 17,60	· . ′	0,176	*	10,740	•
				Total	I,081

Para hallar el poder colorifico y la densidad del gas obtenido del carbón vegetal y tusas de maíz se toman los siguientes datos. , '

## COMPOSICION DEL GAS OBTENIDO DE CARBON VEGETAL

- $% CO_{22} = 7.0$
- $V = 0_{22} = 4.0$
- % CO = 14.0

Composición del carbón vegetal tomado de la (Referencia ?)

- % C = 89
- % H = 3
- % 0 = 8

## COMPOSICION DEL GAS OBTENIDO DE TUSAS DE MAIZ

- $Z = CO_{22} = 14.0$
- $7 0_{se} = 3.2$
- 2 CO = 7.3

Composición de tusas de maiz tomado de la (Referencia 10)

- % C = 48,4
- % H = 6.1
- % 0 = 44.9

Los resultados de estos cálculos se encuentran en los Apéndices A - B - C.

#### APENDICE E

PRUEBA DEMOSTRATIVA DE UNA TRILLADORA DE ARROZ CON FLUJO AXIAL UTILIZANDO COMO COMBUSTIBLE GAS POBRE

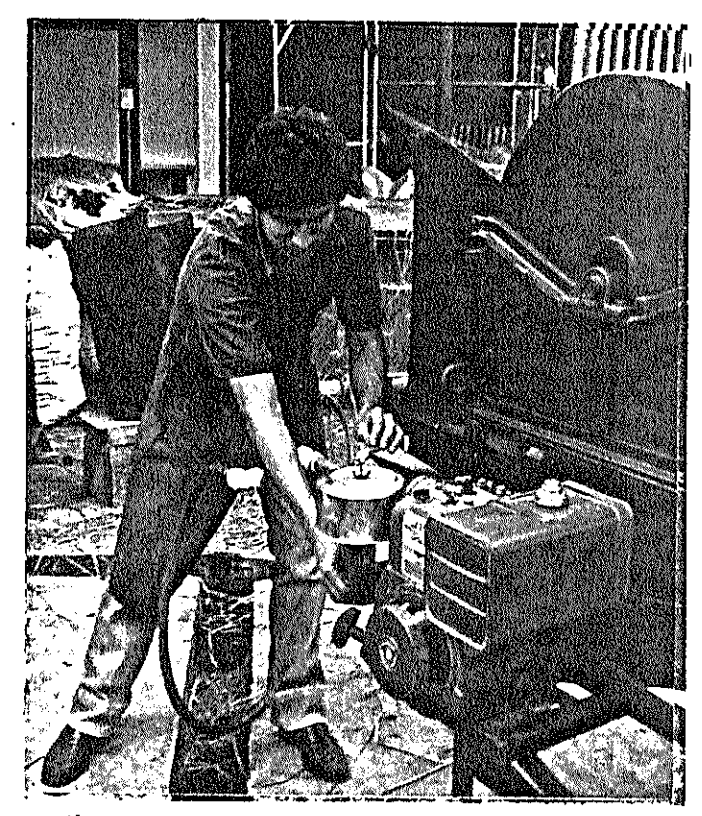
prueba tiene mucha importancia en anlicación I a directa del gas pobre en un motor monocilíndrico que opera una trilladora de arroz, se está confirmando que sirve para el desarrollo de la agricultura en nuetro dispone de grandes cantidades 50 dø desechos agricolas de los cuales se puede obtener €3.1 combustible como ya se demostró en este trabajo. realizar esta prueba se efectuó un pequeño cambio dol tubo admisión del motor por un mezclador que sirve en operación del motor usando gasolina o gas pobre.

El funcionamiento se lo realizó de la siguiente manera, primeramente se obtiene el gas combustible en la planta de gasificación por un tiempo de 10 minutos, se hace el calentamiento del motor con gasolina por un tiempo de 5 minutos terminada esta operación se cierra el paso de la gasolina y a continuación se suministra gas de manera muy lenta hasta tener el funcionamiento del motor de manera regular.

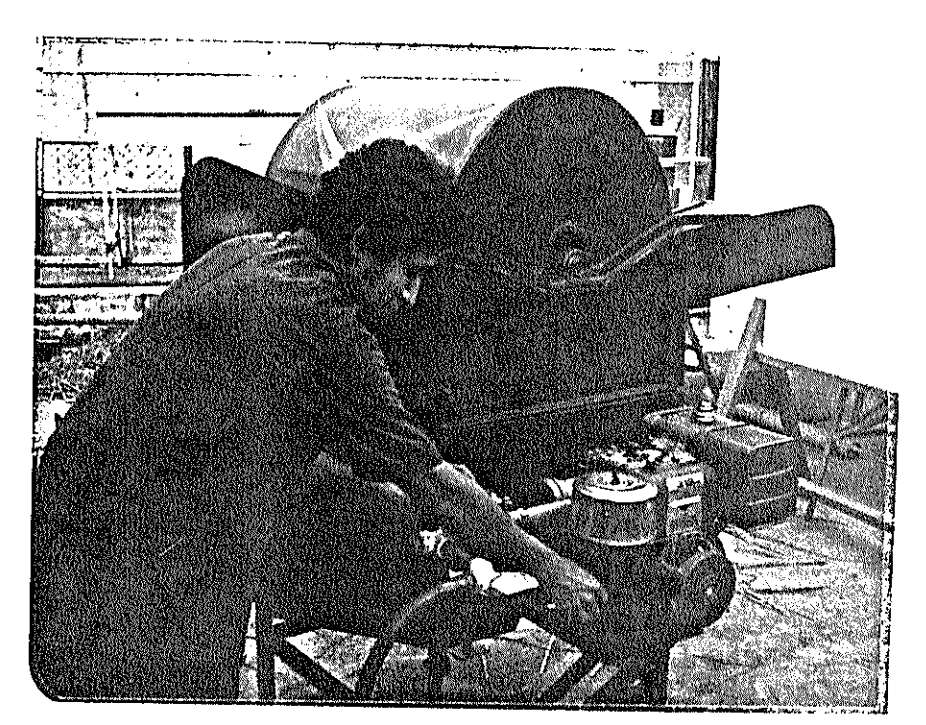
A medida que el tiempo transcurría se observó que el funcionamiento de la trilladora no era regular esto se

debia a que la composición del gas no era estable la dificultad de la regulación de la mezcla aire/GLB/CLB Para seguir observando el funcionamiento del gasificador - trilladora no se le aplicó carga {D (D I''' lapso de 15 minutos, tiempo en el que se notó que **21** sistema funcionaba de manera estable. Luego se alimenta carga lentamente de esta forma la trilladora funcionó normalmente, al variar la alimentación **63** (2) producía atascamiento en las paletas que expulsan la paja, trabajó por el tiempo de 20 minutos.

De todo esto se puede decir que el funcionamiento de la trilladora fue aceptable utilizando gas pobre como combustible. Se recomienda que estas pruebas continuen en lo posterior y sean un poco rigurosas para tomar datos y hacer comparaciones más objetivas al respecto.



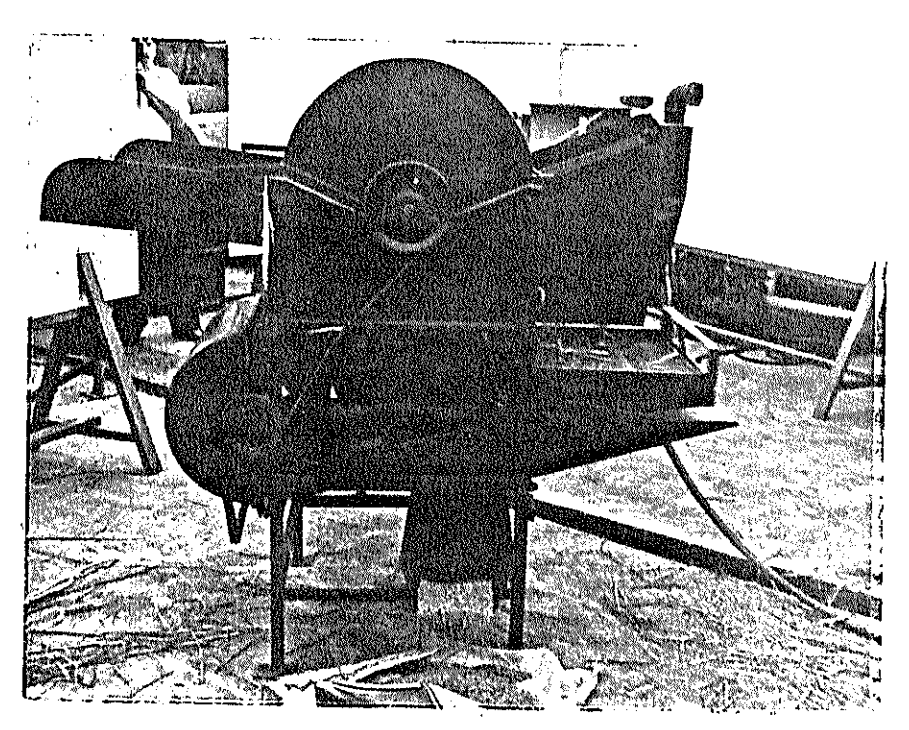
Encendido del motor con gas pobre



Funcionamiento de la trilladora sin carga



Alimentación de la trilladora



Obtencion de arroz trillado

# POLITECTOCA DELETIONAL OS FILMLOS

#### APENDICE F

PRUEBA DEMOSTRATIVA DE GASIFICACION CON UNA MEZCLA AL 50% DE CASCARA DE COCO Y MADERA.

Con esta prueba de gasificación se demostró que es posible la obtención de gas combustible haciendo una mezcla en este caso con cáscara de coco y madera. El combustible que se utilizó no fue homogéneo, es decír que los trozos de cáscara de coco fueron de mayor dimensión que la madera por lo que no hubo un desplazamiento con facilidad en la carbonera del gasificador. Además los trozos de cáscara de coco tienden a carbonizarse con mayor rapidez pero no se convierten en cenizas como sucede con la madera, quedando los trozos enteros de cáscara de coco enteros, obstaculiza el desplazamiento del nuevo combustible y por lo tanto descontinúa la producción de gas.

La prueba tuvo una duración de 90 minutos de los cuales la producción de gas fue de 6 minutos, las varaciones del caudal de aire fueron muchas ya que no se podía precisar en que caudal era el gas de mejor calidad. De las observaciones hechas se notó lo siguiente.

La cáscara de coco es un combustible que desprende con facilidad los volátiles del mismo y tiene la particularidad de que no se convierte en cenizas. Por esta

razón se recomienda que se realicen pruebas en lo posterior pero con cáscara de coco solamente y con trozos pequeños para observar con detenimiento el comportamiento de este combustible. Y además proseguir con las mezclas variando las dimensiones de los trozos de los dos combustibles en mención.

[		#*  ** •	*** 1974 · Edus p/ eps F <b>ib. mi</b> ngar <u>a</u> 1401	TABLA	7 F 1
		PRUE	BA DE	GASIF	FICACION # 12
TIFO D	E COMB:	MADE	ERA C-	-coco	IN DE HUMEDAD: PROMEDIO 12
PESO T	OTAL: 1	.4 Kg		*************************************	IPESO FINAL: 4.4 Kg
peso p	E CENIZ	AS: C	).35 k	`~	1 FOR COST TYPE CONTRACTOR AND AN AND AN
TEMP.A	MBIENTE	1 25	°C		IPRESION ATM: 740 4 II-
		N EN	EL PL	ATO C	ARGANTA: 0,83 Kg
PESO D	E CARBO	N EN	LA PA	RRILL	A: 0.52 km
Tiempo	l Aire Im /hr	1%00	1 %0	1%00	ORSERVACIONES
O	119,69				Encendido
8	; 	1		1	  Inicio de carga
φ	! 	1	1	1	  Final de prueba
12	  19,69 	1	1	! !	  Llama estable 1 min
20	1   19,69	! 	 	] [	!
30	21,48	   	 	! 	l [Cambio de flujo
64	10,74	}   	 		l  Llama estable 3 min
86   1	7,76 j				l  Cambio de flujo
88	7,76		! !		Llama estable 2 min
90     	,     	! !	; [ ] 1		  Final de prueba (por no pro-  duciòn de gas)
,     	! !		·	! !	 
		! !	     		] !
comsumo	de Com	busti	ble:	6,26	
lempo	de Oper	ación	: 90	min	The state of the s
iempo (	de prod	ucció	n de	gas:	6 min

~

## ' APENDICE G

## ANALISIS DE COSTO DE UNA PLANTA DE GASIFICACION (20 kw)

En este análisis se toman en cuena todo los materiales utilizados en la construcción de la plata de gasificación y su adaptación al motor. Los elementos que forman el análisis són: gasificador, ciclón, filtro de manga, intercambiador, filtro de aceite, adaptación del motor, mano de obra. Los costos corresponden al año 1787.

## ANALISIS DE COSTO DE UNA PLANTA DE GASIFICACION DE (20 KW)

#### MATERIALES

CANT. DESCRIPCION COSTO UNIT. COSTO TOTAL

Gasif	<u>icador y ciclón</u>		
1	Plancha negra de 2,44 m * 1,22 m * 3,17 mm.	14.240,00	14,240,00
1	Flancha negra de 2,44 m * 1,22 m * 4,76 mm.	19,000,00	19.000,00
1/2	Flancha negra de 2,44 m * 1,22 m * 10 mm.	48.000,00	48.000,00
1	Flancha negra perforada de 2,44 m * 1,22 m * 1 mm.	11.070,00	11.070,00
1/4	Plancha negra corrugada de 2,44 m * 1,22 m * 4 mm.	18.750,00	4.687,50
20 Kg	Soldadura E-6011.	750,00	15,000,00
1.	Torta de Ø 0,3 m * 12 mm.	3.200,00	3.200,00
3	Codos a 90° de Ø 50 mm.	1.140,00	3,420,00

3,420,00

3,420,00

Codo a 90° de Ø 76 mm.

CANT.	D E SCRIPCION CO	OSTO UNIT.	COSTO TOTAL
1.	Unión Universal de Ø 50 mm.	2,600,00	2,600,00
1	Reductor de Ø 76 mm a Ø 50 mm.	2.280,00	•
1 Kg	Pernos de Ø 13 mm * 50 mm.	992,00	992,00
1 Kg	Acero de transmisión circular de Ø 16 mm.	850,00	722,00
2 Kg	Acero de transmisión exagonal de 25 mm.	1.026,00	2.052,00
1/2	Plancha negra de 0,8 mm.	6.400,00	3,200,00
1/3 m	Tubo de Ø 152 mm.	4.800,00	1.600,00
1	Tuberia de Ø 50 mm (6 m)	6.750,00	6.750,00
4 m	Tubo de Ø 19 mm.	1,800,00	7.200,00
1	Platina de Ø 12 mm.(6 m)	2,880,00	2.980,00
10 Kg	Yeso	150,00	1.500,00
10 Kg	Cemento	20,00	200,00
15	Ladrillos refractarios	1.700,00	25.500,00
2	Varillas de Ø 6,35 mm	800,00	1.600,00
1	Ventilador de 1/4 HF	30.815,00	30.815,00
1	Litro de laca azul	1.710,00	1.710,00
1.	Litro de esmalte negro	1.245,00	1,245,00
1	Galón pintura anticorrosiva	4,416,00	4.416,00

COSTO GASIFICADOR -CICLON...

S/. 194.510,00

POLITECNICA DEL LITORAL
BIBLIOTECA GONZALO ZEVALLOS
F. I. M. C. P.

CANT. DESCRIPCION COSTO UNIT. COSTO TOTAL

### <u>Filtro de Aciete</u>

1	Tanque de plástico transparente		
144	de 40 litros	760,00	760,00
1 m	Tubo de PVC de Ø 40 mm	580,00	580,00
1	Codo de 90° de Ø 40 mm PVC	400,00	٥٥٥,00
1.	Neploflex de Ø 19,05 mmm	200,00	200,00
1	Codo de 90° de Ø 19,05 mm	300,00	300,00
<u>1</u>	Adaptador de Ø 19,05 mm	200,00	200,00
1.	Neploflex de Ø 12,7 mm	150,00	150,00
.1.	Adaptador de Ø 12,7 a 6,35 mm	250,00	250,00
20 cm	Manguera transparente Ø 6,35 mm	200,00	200,00
1.	Válvula de bronce de Ø 6,35 mm	۵00,00	400,00
1,5 m	Manguera plástica de Ø 38,1 mm	600,00	۵00,00
25	Abrazaderas de Ø 38,1 mm.	110,00	110,00
2	Galones de aceite SAE-40	250,00	1,900,00
<u>ADART</u>	ACION MOTOR GASIFICADOR		
1.	Neplo de Ø 19,05 * 150 mm	200,00	200,00
1	T galvanizada de Ø 19,05 mm	350,00	350,00
2	Neploflex de Ø 17,05 * 100 mm	300,00	600,00
1.	Unión plástica de Ø 19,05 mm	400,00	400,00
1	Válvula de globo de Ø 19,05 mm	2.700,00	2,700,00
2	Adaptadores de Ø 19,05 mm	300,00	600,00
2	Abrazaderas de Ø 19,05 mm	90,00	180,00

CANT.	DESCRIPCION CO	STO UNIT.	COSTO TOTAL
10 m	Manguera plástica de Ø 19,05 mm	520,00	5.250,00
1	Bushing de Ø 50,8 a 38,1 mm.	600,00	۵٥٥,00
Z.	Unines de Ø 50,8 mm	00,816	1.845,00
2	T de Ø 50,8 mm	2.000,00	4.000,00
4	Uniones Universal Ø 50,8 mm	2.400,00	10.000,00
8	Codos a 90° de Ø 50,8 mm	1.400,00	11.200,00
**	Válvulas de compuerta Ø 50,8 mm	6,000,00	18.000,00
2	Tubería de Ø 50,8 mm (6 m)	6.750,00	13.500,00
casto	DE FILTRO DE ACIETE -ADAFTACION		
AL MO		C) / n = ""# /	7 m = 2025
	9 many 4 3 99 94   1844-19-14-18-14-18-14-18-14-18-14-18-18-18-18-18-18-18-18-18-18-18-18-18-	S/: 76	rassyvu

Ţ

CANT.	D E SCRIPCION CO	STO UNIT. C	OSTO TOTAL
FILTRO	DE MANGA		
2/3	Plancha negra de 2,44 * 1,22 m * 2 mm	10.500,00	7.000,00
1.	Unión galvanizada de Ø 50,8 mm	615,00	615,00
24	Pernos de Ø 6,35 mm * 35 mm	50,00	1.200,00
2	Platinas de 19,05 mm * 3,17 mm	600,00	1,200,00
1.	Varilla lisa de Ø 6,35 mm	800,00	800,00
LO m	`Liencillo '.	225,00	2,250,00
INTER	CAMBIADOR Plancha negra de 2,44 mm * 1,22 m * 2 mm	10.500,00	7.000,00
1	Angulo de 25,4 * 25,4 * 3,17 mm	2.000,00	2,000,00
15	Tubos galvanizados de Ø 50,8 mm	2.500,00	37,500,00
2	Unión galvanizada de Ø 50,8 mm	600 _# 00	1.200,00
1.	Válvula de compuerta de 12,7 mm	£.400,00	1.400,00
1	Unión de Ø 12,7 mm	180,00	130,00
1	Codo de Ø 12,7 mm.	225,00	225,00
3	Neplos de Ø 12,7 * 25,4 mm	110,00	330,00
10 Kg	Soldadura E-6011	750 ₉ 00	<u>, "200"00</u>
		adar haas dad proposed specify on pays on appy relays named a fall ( Mobal & M / 900 M ), 100 % ( M	, <u>, , , , , , , , , , , , , , , , , , </u>

COSTO DE FILTRO DE MANGAS-INTERCAMBIADOR. S/. 70.400,00



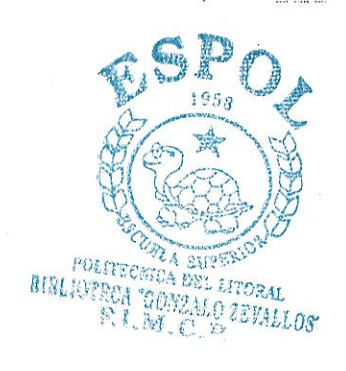
#### MANO DE OBRA

#### GASIFICADOR - CICLON

TIPOS DE TRABAJOS	TIEMPO EMPLEADO HARAS	COSTO POR HORA	COSTO TOTAL
Corte	17,00	450,00	11,050,00
Rolado	11,00	1.000,00	11.000,00
Soldado	20,00	1.500,00	30,000,00
Maquinado	18,00	1.350,00	24.300,00
Ensamblado	34,00	500,00	17.000,00
Pintado	4,00	500,00	2,000,00
TOTAL:	104,00	Ç	3/. 95.350.00

## INTERCAMBIADOR - FILTRO

TIPO DE TRABAJO	TIEMPO EMPLEADO HORAS	COSTO POR HORA	COSTO TOTAL
Trazado y corte	16,00	650,00	10.400,00
Preparación de mat (esmerilado,perfor roscado, etc.)		750,00	6.000,00
Soldado	24,00	1.500,00	36,000,00
Pintado	2,00	500,00	1.000,00
TOTAL:	50,00		3/. 53.400,00



#### COSTO TOTAL

CONCEPTO		СОЯТО
-		
	<i>8</i> 0	
Materiales		S/. 341.595,00
Costo de mano de obra		S/, 149,750,00
Mezclador y accesorios		S/. 34.000,00
***************************************		
	TOTAL	8/. 524,345.00

#### APENDICE H

## ANALISIS ECONOMICO DE UN SISTEMA DE FUERZA MOTRIZ (20 KW)

Para realizar el análisis económico se hacen las siguientes consideraciones referente al funcionamiento anual y vida útil del sistema.

supone que el sistema funcionará a plena potencia Se salida durante 2.000 horas y que será reemplazado después de 5 años de operación. Lo anterior equivale a 8 horas de funcionamiento en días laborables, y una vida útil 10,000 horas, Este tipo de frecuencia de corresponde a la aplicación que se está analizando para determinar con cierta exactitud la vida útil de un equipo o sistema, se requiere de cierta experiencia en cuanto a resistencia cle materiales usados para aplicaciones. Como en nuestro país no existe todavía esa experiencia se consultó la (Referencia ó).

El costo total de la planta de gasificación se lo hace en el Apéndice anterior siendo este de 8/. 524.345 sucres.

1. Costos de Capital Anual, se denomina anualidad (A), al costo inicial del equipo, es decir la inversión (I), determinada unualmente para un período de (t) años (vida útil del sistema) con una tasa de interés anual (K),

calculado por la siguente relación.

$$A = I * - \frac{K}{1 - (1 + K)^{-1}}$$



2. El valor en el mercado del diesel en el año 1987 fue de 15 sucres por litro. En el caso de los residuos de madera se averiguó en los aserraderos que su costo es de S/. 1.500 el metro cúbico. Tomando una densidad de la madera promedio de 500 Kg/m² nos da un valor de S/. 3.00/Kg, equivalente a S/. 3.000/Tonelada. No se incluye aqui el costo de proceso de corte y secado de los residuos de madera.

Combustible = Costo del diesel * Consumo de diesel *

Potencia * Horas/año.

- 3. Mantenimiento, se considera un costo de mantenimiento anual del 15% del costo del capital del sistema diesel convencional y del 10% del costo del capital del sistema gasificador motor.
- 4. Lubricación, se adoptó un costo de lubricación anual del 15% del costo total del consumo de combustible (diesel) para el sistema convencional. Para el sistema alternativo se considera el 10% del costo total de combustible.

- 5. Mano de Obra para el caso del sistema gasificador motor, se debe considerar el costo de la mano de obra extra que se necesita en la operación del gasificador. El valor que corresponde a un trabajo a medio tiempo.
- 6. Herramientas para acondicionar el combustible para gasificar.

# VALORES EMPLEADOS EN EL ANALISIS ECONOMICO DE UN SISTEMA DE FUERZA MOTRIZ

PARAMETROS

VALORES REFERNCIALES

Potencia Mecánica

20 KW

Período de funcionamiento anual

del sistema

2,000 hr

Vida útil del sistema

5 afros

Inflación del petróleo

0 %

Tasa de interés

25 %



### SISTEMA CONVENCIONAL (DIESEL)

Costo de motor generador diesel

20/1,500 (KW/RPM)

2'750.000,00 sucres

Costo anual de Mantenimiento

5 % costo del capital

Costo de lubricante

5 % costo del diesel

Costo de diesel

S/. 15,00 litro

Consumo de diesel

0,4 litro/Ku-Hr

## SISTEMA ALTERNATIVO (GAS POBRE - DIESEL)

Costo del termogasificador	24,000,00 muores/No	
Costo anual de mantenimiento	10 % costo del capital	
Costo de lubricante	10 % costs del diese?	
Costo de madera	S/, 3.000,00/Tonelada	
Consumo de madera	1,3 Kg/Ku:Hr	
Sustitución del diesel	80 % ·	
Consumo de diesel	0,08 litro/Pullr	

## ANALISIS ECONOMICO DE UN SISTEMA DE FUERZA MOTRIZ (20 kW)

COI	NCEPTO		SISTEMA	SIGTEMA CAC
			DIESEL.	PODRO, DUROUL
1.	Costo del cap	ital anual		
	del equipo	MOTOR	1'022,578,5	1.022.570,5
	GA	SIFICADOR	THE SALE SEA CONT. I SHOW THE SALE SHOW THE PARTY OF THE SALE SHOW THE S	101.075,0
2.	Combustible	DIESEL	240.000,0	40,000,0
		MADERA	ANG AND	156.000,0
3.	Mantenimiento		137.500,0	
4.	Lubricante		12.000,0	21,000,0
5.	Mono de Obra	Adicional	*****	07.000,0

6. Herramienta para acondi-

nar combustible

COSTO TOTAL ANUAL

1'412.078,4 2'057.000,9

COSTO TOTAL DE ENERGIA

(SZ.KW-Hr)

35,30

51,17



## ANALISIS DE COSTO DE PRODUCCION DE ENERGIA KW-Hr DE UN SISTEMA DE FUERZA MOTRIZ DE 20 KW-Hr

### CON DIFERENTES COMBUSTIBLES SISTEMA SISTEMA DIESEL GAS-PORRE/DIESEL COSTO COSTO COSTO COSTO Año IS./ LITRO IS./ KW-Hr S./ Kg IS./ KW-Hr Diese1 Madera 1.985 10,60 15,00 1,50 $21_{g}$ 15,00 1.987 35,30 OO, 51,49 1.988 27,50 60,67 6,00 86,43

APENDICE I

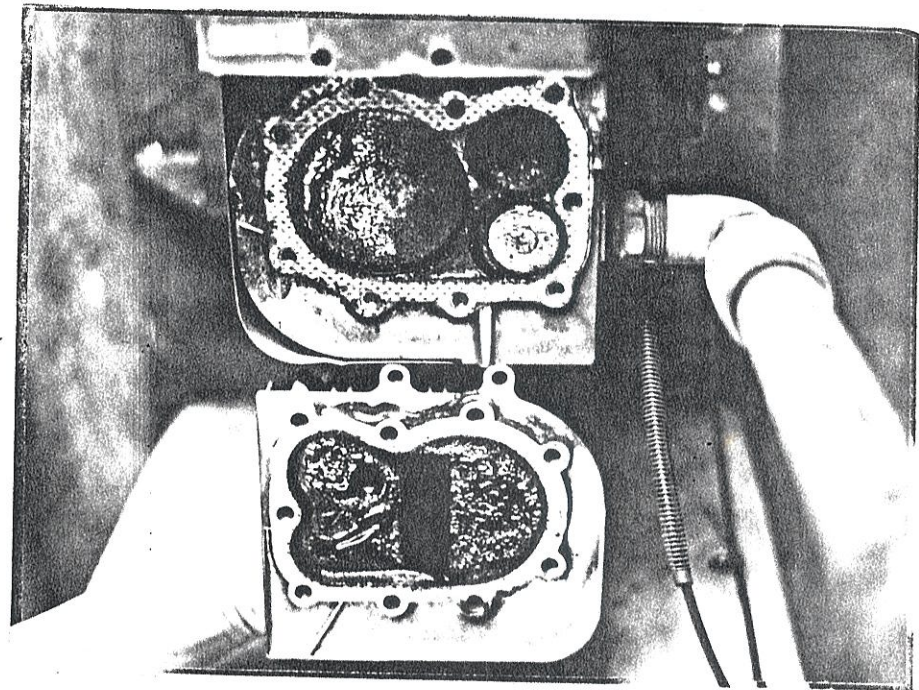
## PODER CALORIFICO DE GASES COMBUSTIBLES

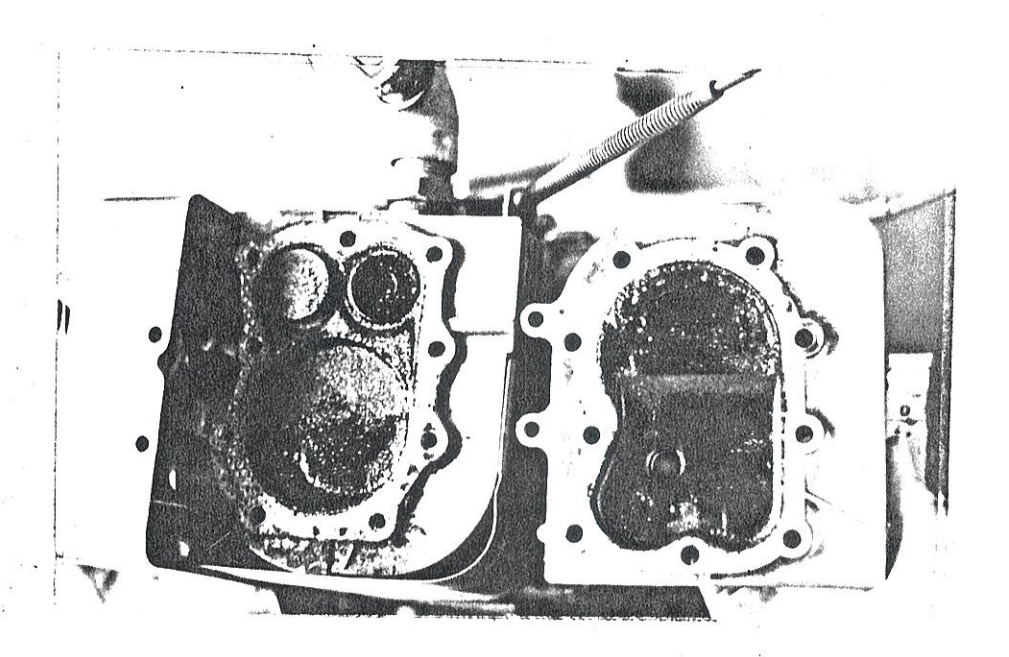
Gas Combustible	MJ/Nm ^{rs}
Biogas	<b>€5</b> "13 25 " 1
Metano	33.5 35.7
Gas Matural	37.46
Propano	77.00 - 74.00
Butano	TOA. A. TOA.
Gas Pobre	Fig. 25

FUENTE Ref: Manual de Biogas OLADE, Guatemala 1981

本

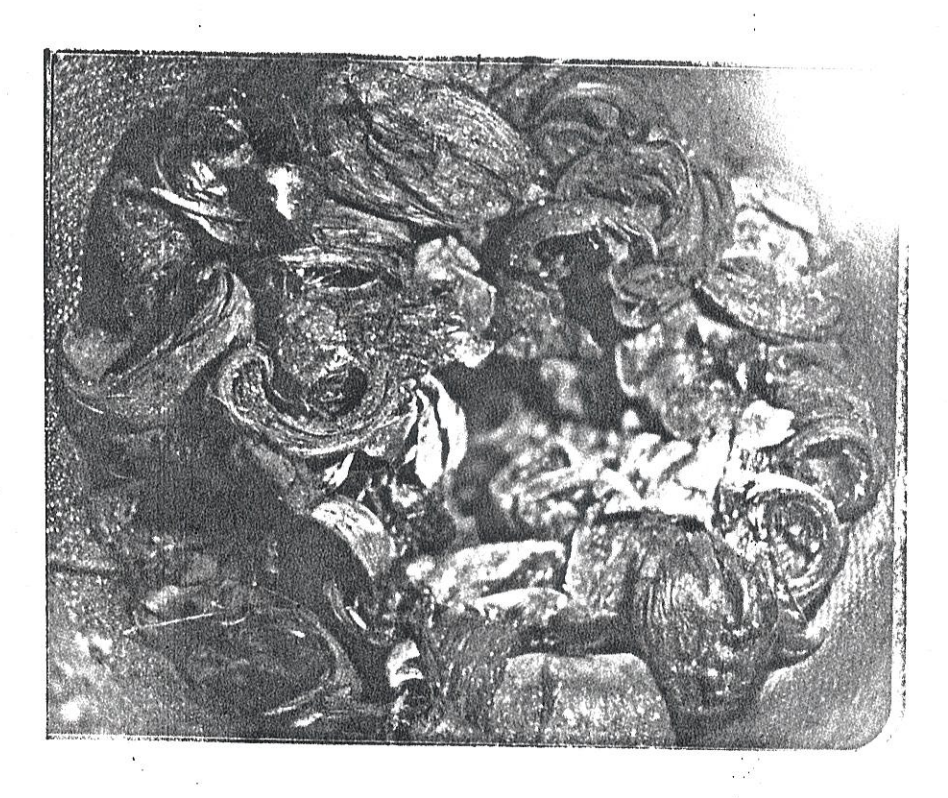


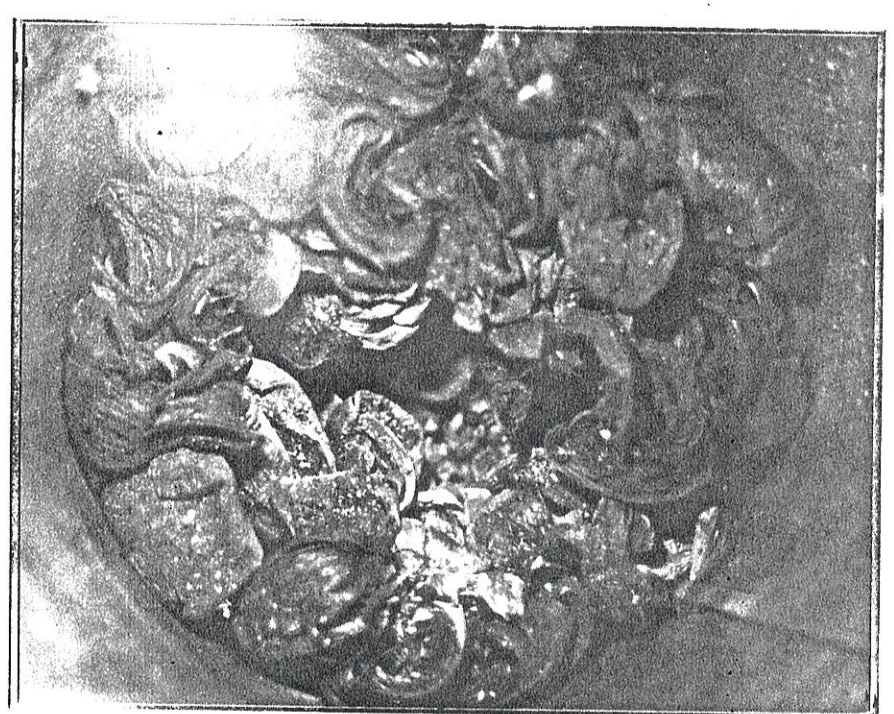




Residuo de alquitranes en elcabezote del motor.







Residuos de cascara de coco del proceso de gasificación

### NOMENCLATURA

A - Amperaje

cc - centimetro cúbico

CV - Potencia del motor

d - Densidad

KJ - Kilojuole

m — metro lineal

mm - millmetro

Mm - metro cubico normal

m^s - metro cubico

MJ - Megajuole

KW - Potencia del generador

MCI - Motor de combustión interna

PMS - Punto muerto superior

t - Tiempo

seg - segundo

v - 'volumen

V - Volteje

Kn - Kilo Newton

m² - metro cuadrado

### BIBLIOGRAFIA

- 1. BARRIGA A, INTRODUCCION A LA TECNOLOGIA DE GAS PODRE
  EN APLICACIONES AGROFORESTALES DE PEQUENA Y MEDIANA
  ESCALA, SEMINARIO, ESPOL. 1984
- 2. BARRIGA A, ADAPTACION DE MOTORES DE COMBUSTION INTERNA AL USO DE GAS POBRE, ESPOL. 1984
- 3. REYES F; FUNCIONAMIENTO DE UN MOTOR DE CUATRO TIEMPOS ENCENDIDO POR CHISPA, CON GAS LICUADO DE PETROLCO. TESIS DE GRADO ESPOL, 1982
- 4. ZURITA M, ESTUDIO DE LOS GASOGENOS, DISEMO Y COMS-TRUCCION DE UN PROTOTIPO, TESIS DE GRADO, UNIVERSIDAD CENTRAL DEL ECUADOR, ESCUELA DE ING. QUIMICA, 1984
- 5. PRODUCER GAS COURSE, THE BEIJER INSTITUTE, STOKHOLM, K
- 6. PATINO M, DISENO, CONSTRUCCION Y PRUEBAS DE UN TERMO-GASIFICADOR EXPERIMENTAL PARA RESIDUOS FORESTALES Y AGRICOLAS, TESIS DE GRADO, ESPOL, 1985
- 7. OLADE/GATE, MANUAL DEL PRIMER CURSO DE GASIFICACION DE MADERA EN CENTRO AMERICA Y EL CARIBE, COSTA RICA, NOVIEMBRE DE 1982



- B. LARCO V, ADAPTACION DE ELECTROGENERADORES DOMESTICOS A.
  USO DE BIOGAS, TESIS DE GRADO, ESPOL, 1982
- 9. REYES M, ESTUDIO APROPIADO PARA PRODUCCION DE CARBON VEGETAL CON APLICACION AL USO RACIONAL DE LEMA, TESIS DE GRADO, ESPOL, 1986
- 10. BJORN KJELISTROM, CHARACTERISTICOS OF SOME TYPES OF AGRICULTURAL RESIDUES FOR USE AS FUEL IN DOWN DRAFT GASIFIERS, THE BEJER INSTITUTE, STOCKOLM, MAYO 1981
- 11. CHISTER HOGLUND, AGRICULTURAL RESIDUES AS FUEL FOR PRODUCER GAS GENERATION, THE BEIJER INSTITUTE, STO-CKOLM, AGOSTO 1981
- 12. MOTORES DE COMBUSTION INTERNA, KATES EDGAS Y WILLIAM E. LUCK, BARCELONA, 1982
- 13. REPORTE FINAL DEL PROYECTO FUERZA MOTRIZ RURAL, ESPOL, 1989
- 14. GUIA DEL LABORATORIO DE GENERACION DE PODER, ESPOL,